

Autor(en): **[s.n.]**

Objektyp: **Appendix**

Zeitschrift: **Eclogae Geologicae Helvetiae**

Band (Jahr): **29 (1936)**

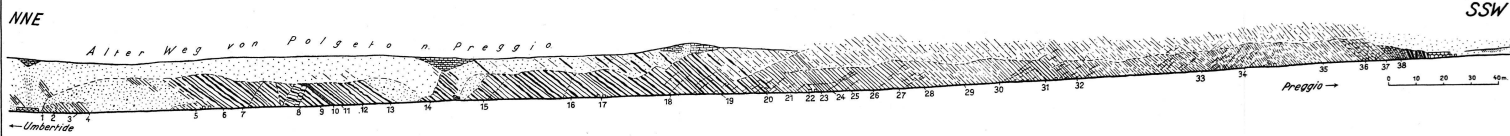
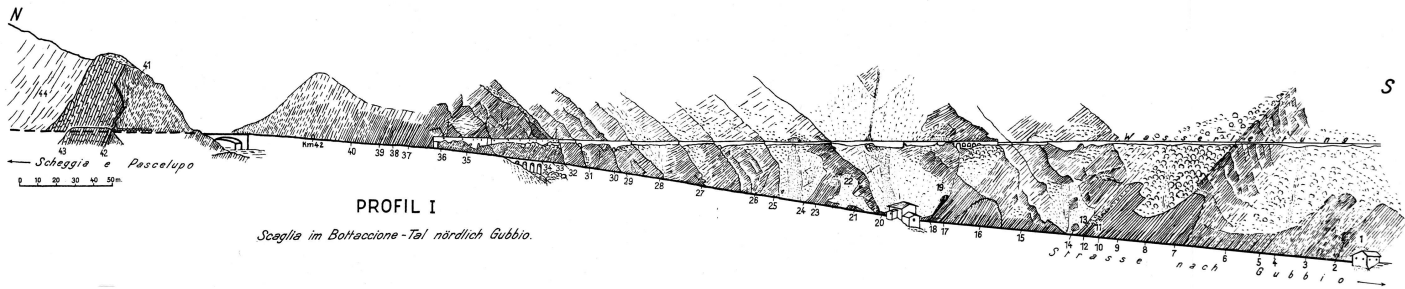
PDF erstellt am: **21.09.2024**

Nutzungsbedingungen

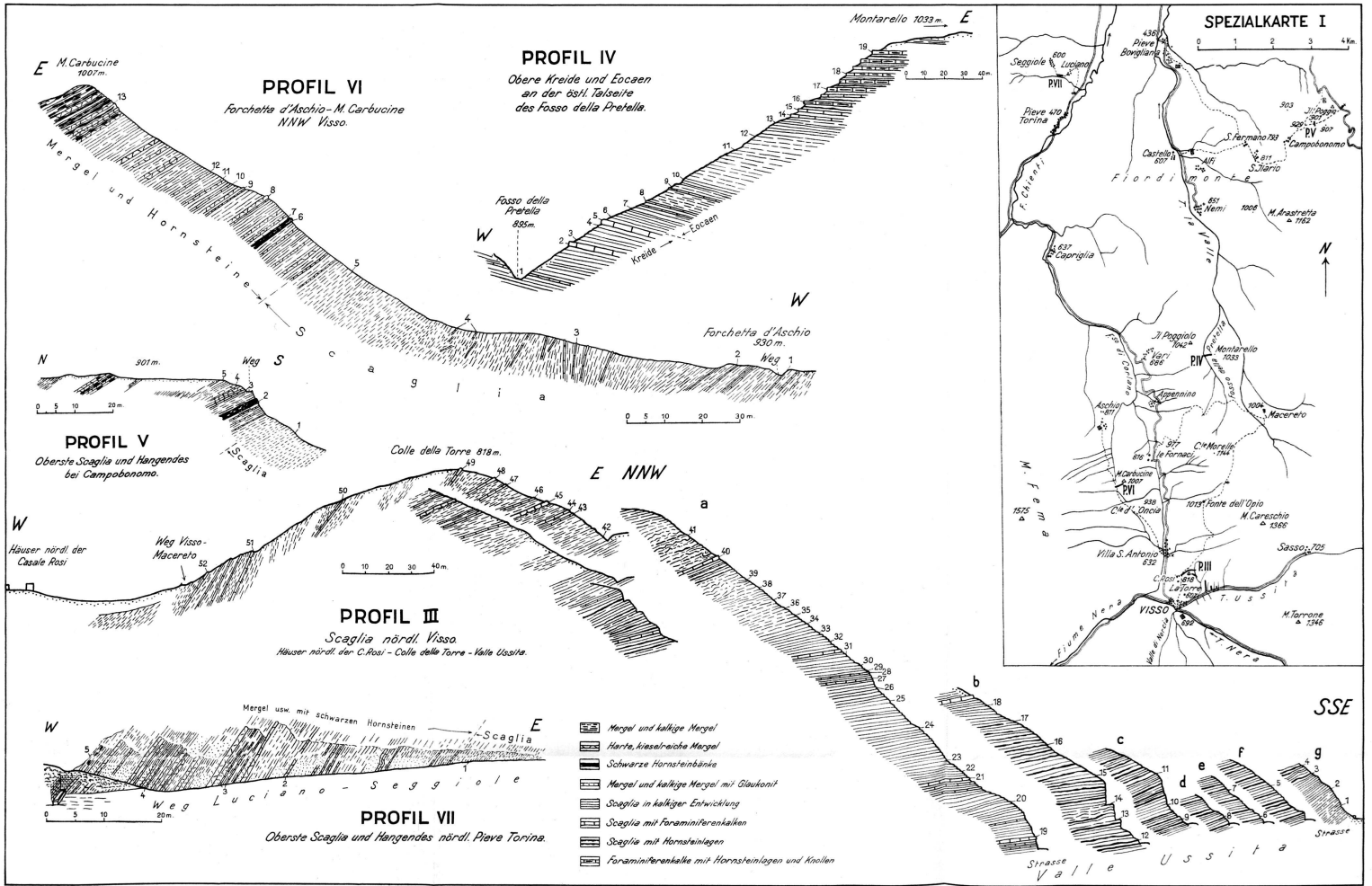
Die ETH-Bibliothek ist Anbieterin der digitalisierten Zeitschriften. Sie besitzt keine Urheberrechte an den Inhalten der Zeitschriften. Die Rechte liegen in der Regel bei den Herausgebern. Die auf der Plattform e-periodica veröffentlichten Dokumente stehen für nicht-kommerzielle Zwecke in Lehre und Forschung sowie für die private Nutzung frei zur Verfügung. Einzelne Dateien oder Ausdrucke aus diesem Angebot können zusammen mit diesen Nutzungsbedingungen und den korrekten Herkunftsbezeichnungen weitergegeben werden. Das Veröffentlichen von Bildern in Print- und Online-Publikationen ist nur mit vorheriger Genehmigung der Rechteinhaber erlaubt. Die systematische Speicherung von Teilen des elektronischen Angebots auf anderen Servern bedarf ebenfalls des schriftlichen Einverständnisses der Rechteinhaber.

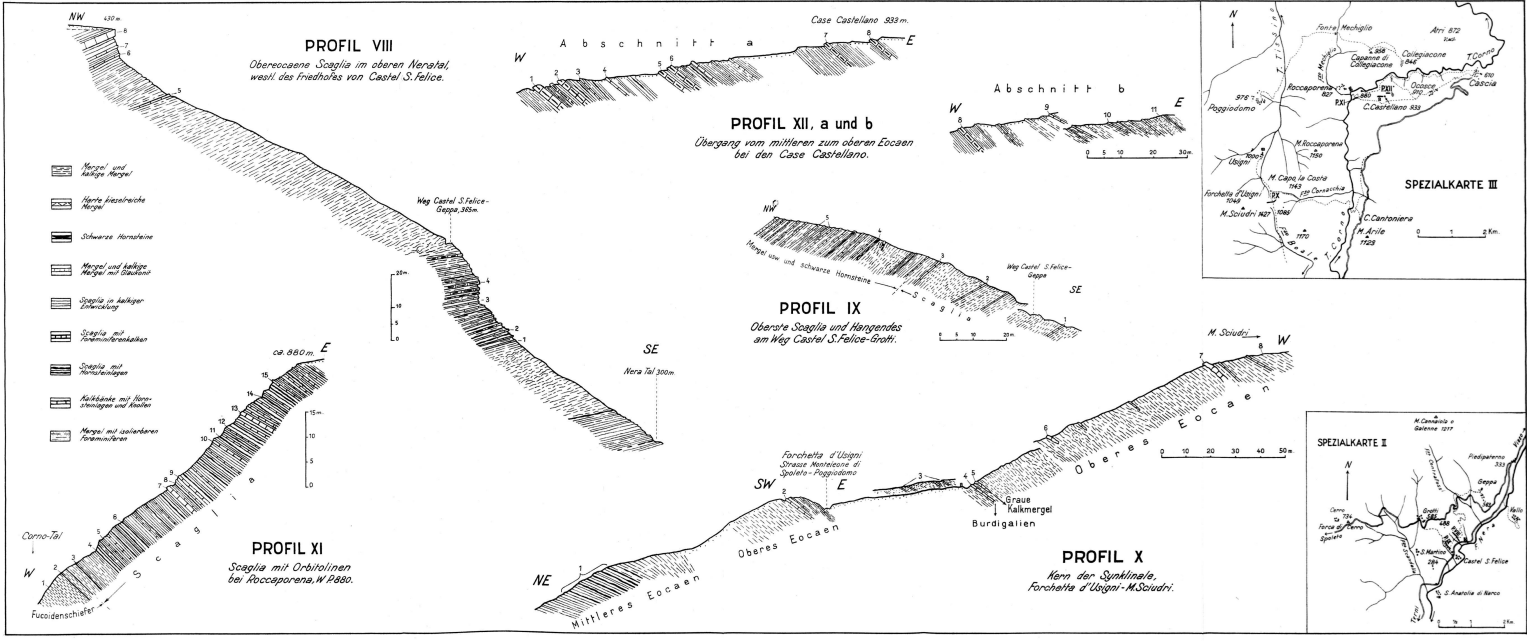
Haftungsausschluss

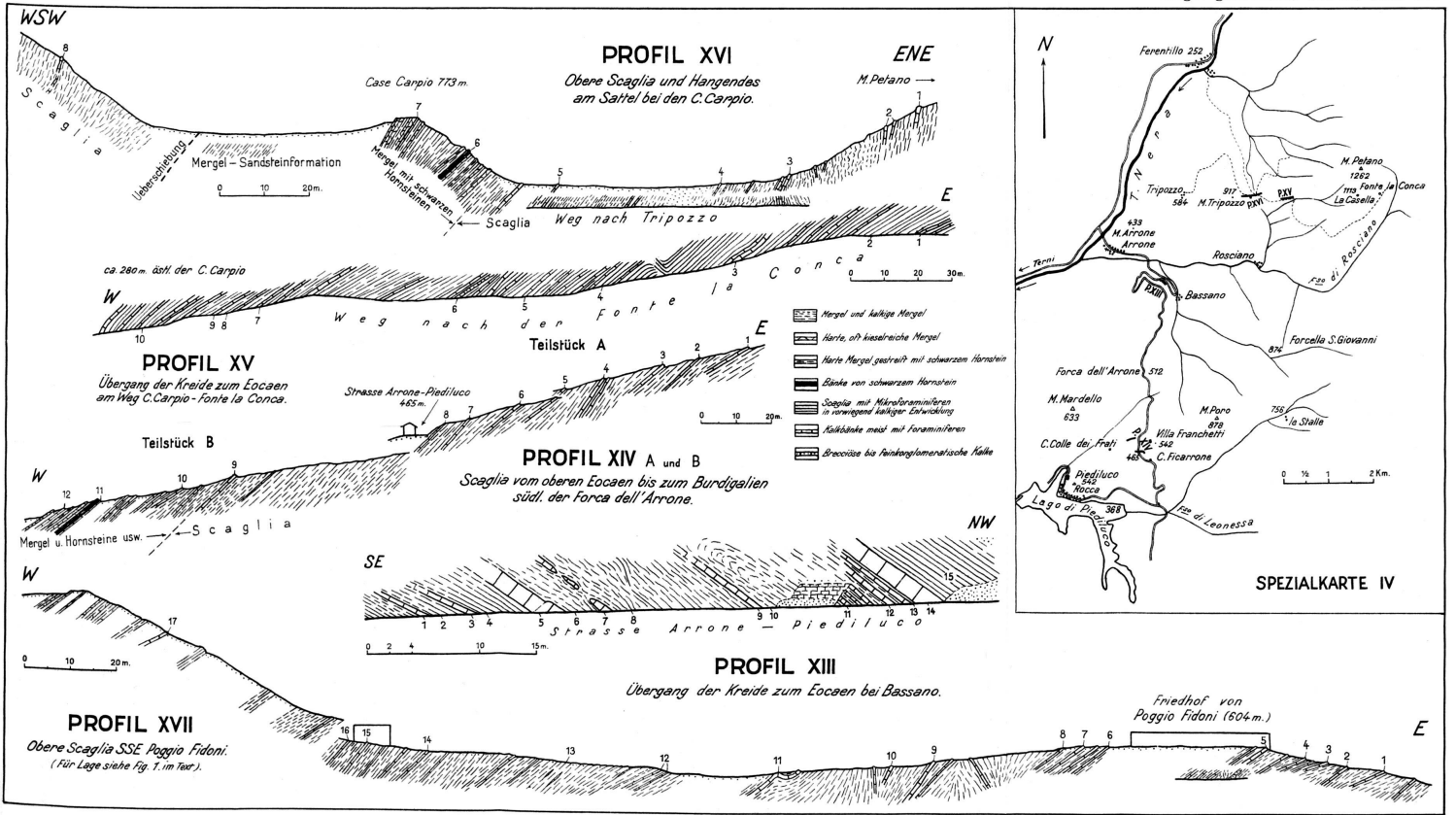
Alle Angaben erfolgen ohne Gewähr für Vollständigkeit oder Richtigkeit. Es wird keine Haftung übernommen für Schäden durch die Verwendung von Informationen aus diesem Online-Angebot oder durch das Fehlen von Informationen. Dies gilt auch für Inhalte Dritter, die über dieses Angebot zugänglich sind.

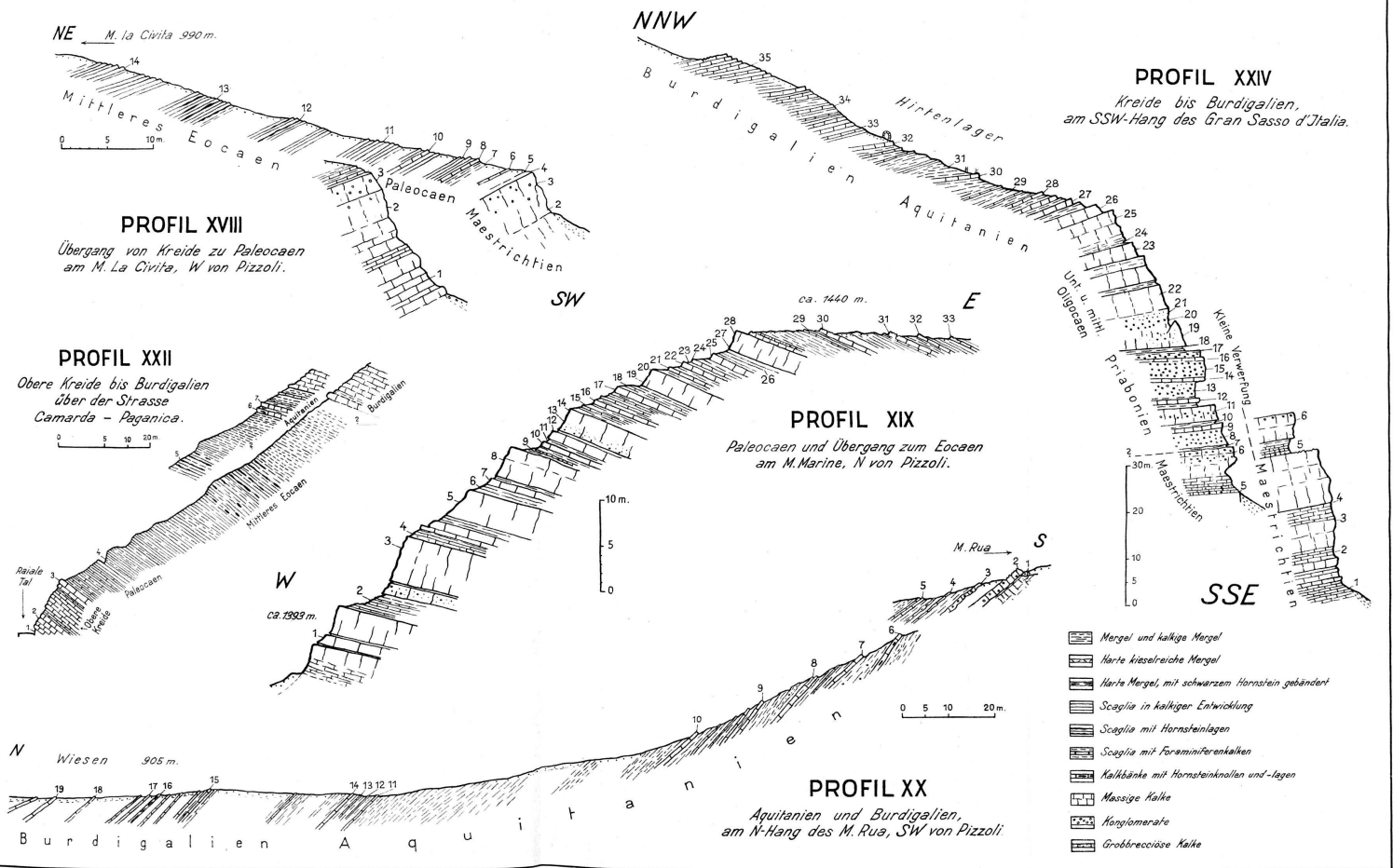


- | | | | |
|--|---------------------------------|--|---|
| | gelbliche bis schluffige Mergel | | Scaglia mit Mikrofossiliferen
in vorwiegend schluffiger Einwirkung |
| | Mergel mit kalkreichen Nodulen | | Scaglia mit Hornsteinlagen |
| | Bänke von schwarzem Hornstein | | Glaukonitige Mergel und Kalksand |









NE M. la Civita 990 m.

NNW

PROFIL XXIV
Kreide bis Burdigalien,
am SSW-Hang des Gran Sasso d'Italia.

PROFIL XVIII
Übergang von Kreide zu Paleocäen
am M. La Civita, W von Pizzoli.

SW

PROFIL XXII
Obere Kreide bis Burdigalien
über der Strasse
Camarda - Paganica.

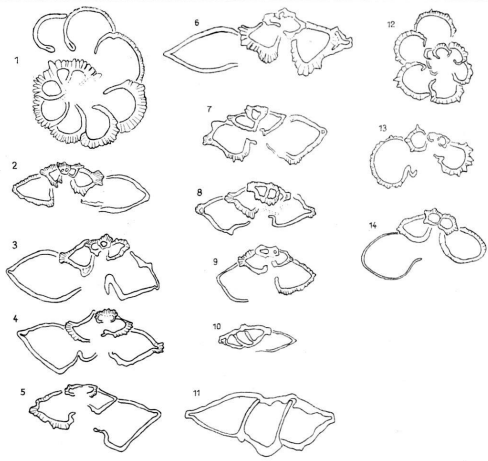
PROFIL XIX
Paleocäen und Übergang zum Eocäen
am M. Marine, N von Pizzoli.

SSE

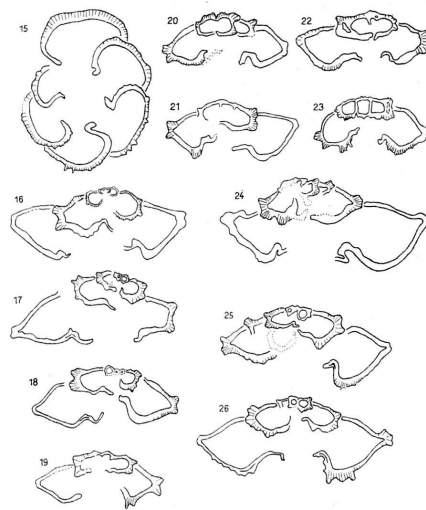
N Wiesen 905 m.

PROFIL XX
Aquitanien und Burdigalien,
am N-Hang des M. Rua, SW von Pizzoli.

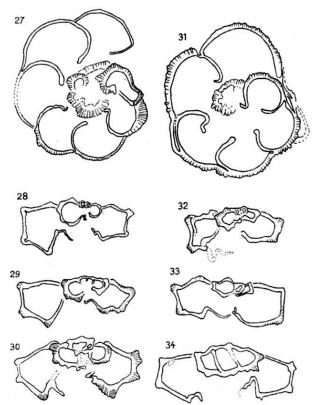
- Mergel und kalkige Mergel
- Harter kieselreicher Mergel
- Harter Mergel, mit schwarzem Hornstein gebändert
- Scaglia in kalkiger Entwicklung
- Scaglia mit Hornsteinlagen
- Scaglia mit Foraminiferenkalken
- Kalkbänke mit Hornsteinknochen und -lagen
- Massive Kalk
- Konglomerate
- Grobbrecciöse Kalk



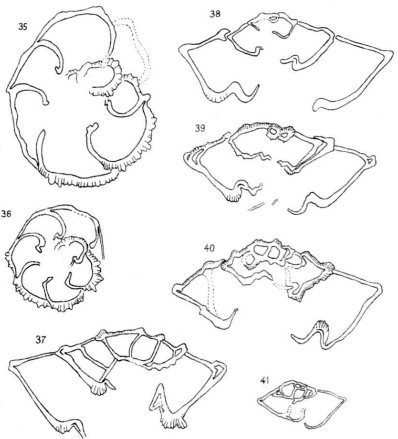
Globotruncana appenninica n. sp. 1-11, begleitende Globigeriniden 12-14



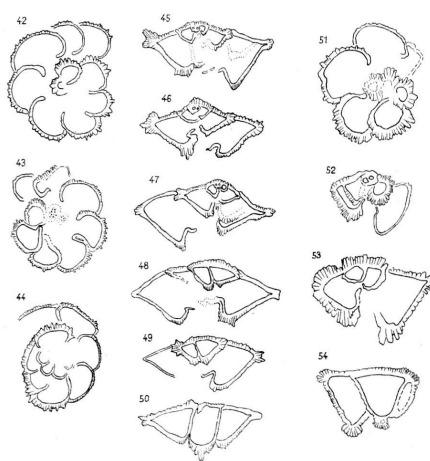
Zwischenform *G. appenninica* - *G. linnei*



Globotruncana linnei D'ORB.



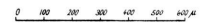
Globotruncana stuarti DE LAPP.



Globoboliten: paleocene Form 42-50, eocene Form 51-54

ERKLÄRUNG

- Fig. 1: Prof. I (Gubbio), Schicht 5.
 - 2-3: - I, - 6.
 - 4: Ob. Villa del Furla im Melauroraf.
 - 5: Prof. II (M. Acuto), Schicht 6.
 - 6: - I, Schicht 6.
- Fig. 15: Prof. II, Schicht 15.
 - 16: - III, (Vasso), Schicht 11.
 - 17: - III, - 10.
 - 18-20: - II, Schicht 12.
 - 21: - I, - 13.
- Fig. 27: Prof. Fossombrone, Sc. m. G. linnei u. stuarti.
 - 28: - I, Schicht 17.
 - 29: - I, - 19.
 - 30: - I, - 26.
- Fig. 35: Prof. III, Schicht 29.
 - 36: - II, zwischen Schichten 24 u. 25.
 - 37: - Fossombrone, Sc. mit G. linnei u. stuarti.
 - 38: - II, Schicht 24.
- Fig. 42: Prof. Fossombrone, Sc. m. G. linnei u. stuarti.
 - 43: - XVIII (M. La Civita), Schicht 9.
 - 44: - III, Schicht 30.
 - 45: - I, - 36.
 - 46: - XIII (Strasse Arrone-Piediluco) Sch. 13.
 - 47: E-Hang des S. Fuggiale.
 - 48: Prof. Fossombrone.
- Fig. 7-8: Prof. II, Schicht 3.
 - 9: - I, - 5.
 - 10: - I, - 6.
 - 11: - II, - 6.
 - 12-14: - I, - 6.
- Fig. 22: Prof. II, Schicht 12.
 - 23: - I, - 13.
 - 24: - I, - 15.
 - 25: - II, - 12.
 - 26: - I, - 13.
- Fig. 31: Prof. Fossombrone, Sc. m. G. linnei u. stuarti.
 - 32: - I, Schicht 19.
 - 33: - II, - 21.
 - 34: - I, - 21.
- Fig. 39: Prof. Fossombrone, Sc. m. G. linnei u. stuarti.
 - 40: - II, Schicht 21.
 - 41: - II, zwischen Schichten 24 u. 25.
- Fig. 49: Prof. XIII, Schicht 15.
 - 50: - I, - 34.
 - 51: - I, - 38.
 - 52: - X, (Forchetta d'Usignè) Schichten I.
 - 53: - I, Schicht 37.
 - 54: Penne di Chiusita.



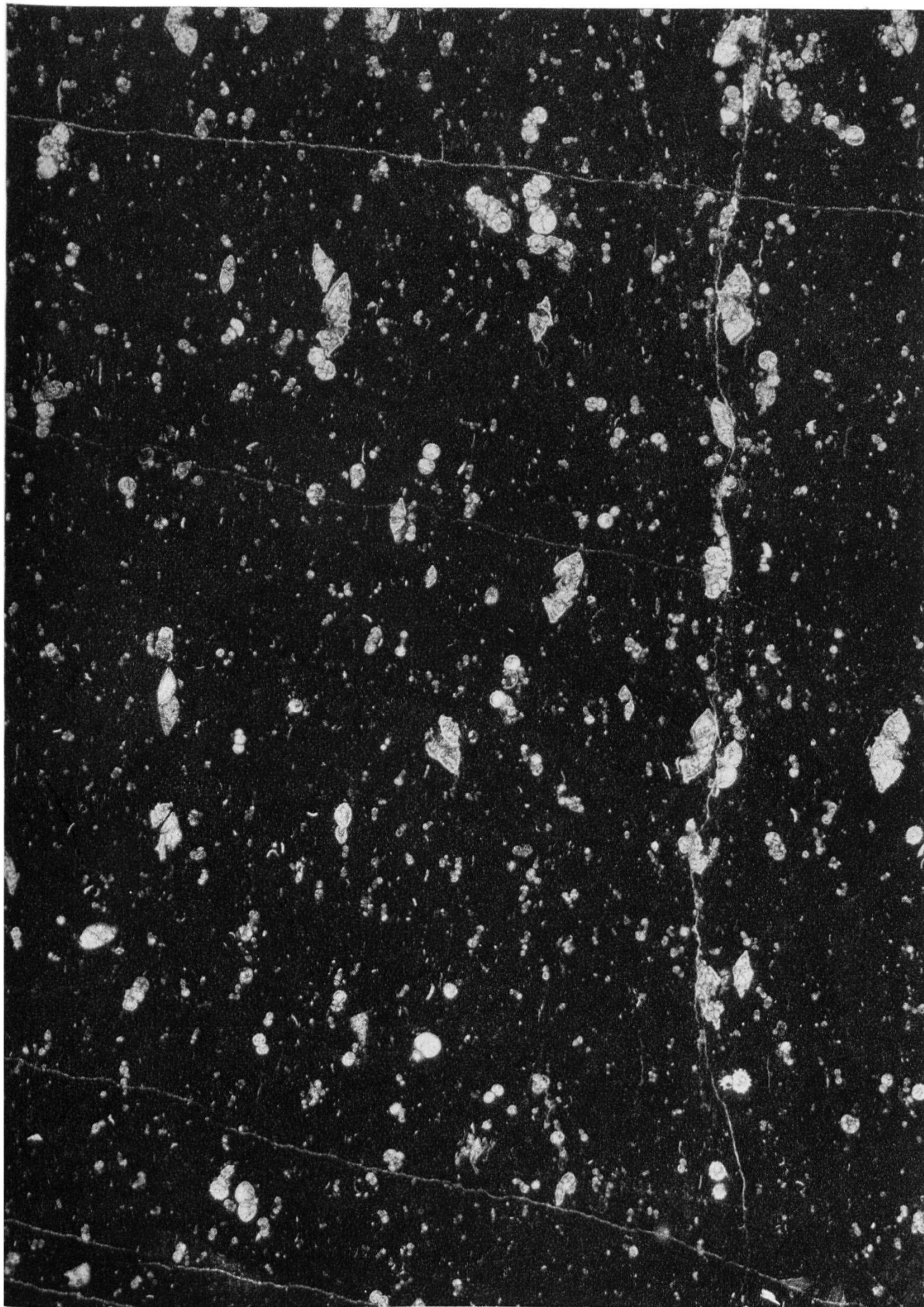


Fig. 1. Scaglia mit *Globotruncana appenninica* n. sp. = Zone 1 a'.

Prof. I (Gubbio), Schicht 6 (s. S. 13 u. Tafel I). 21 ×.

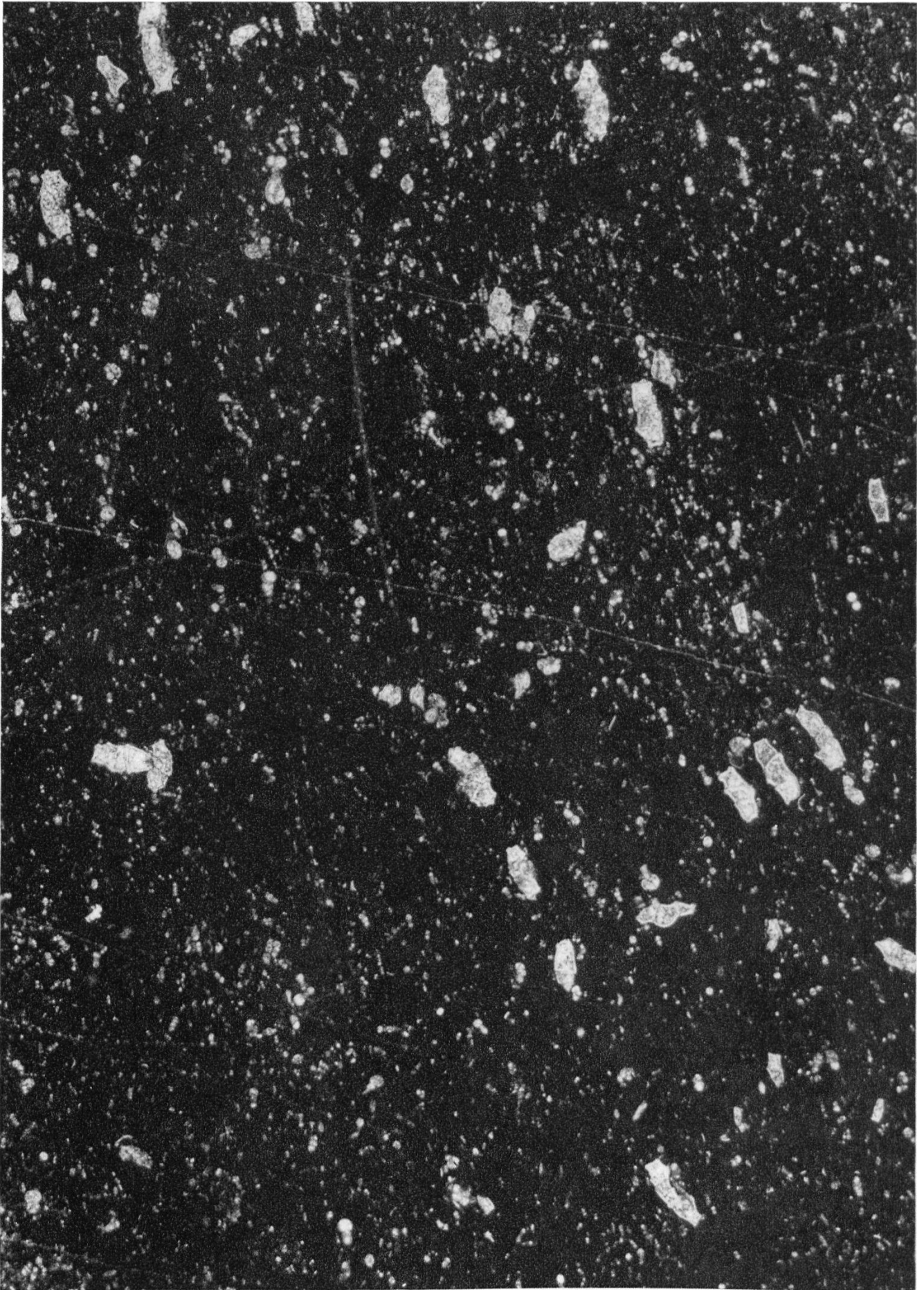


Fig. 2. Scaglia mit *Globotruncana linnei* (D'ORB) = Zone 1a".
Prof. II (M. Acuto), Schicht 18 (s. S. 34 u. Tafel I). 21 ×.

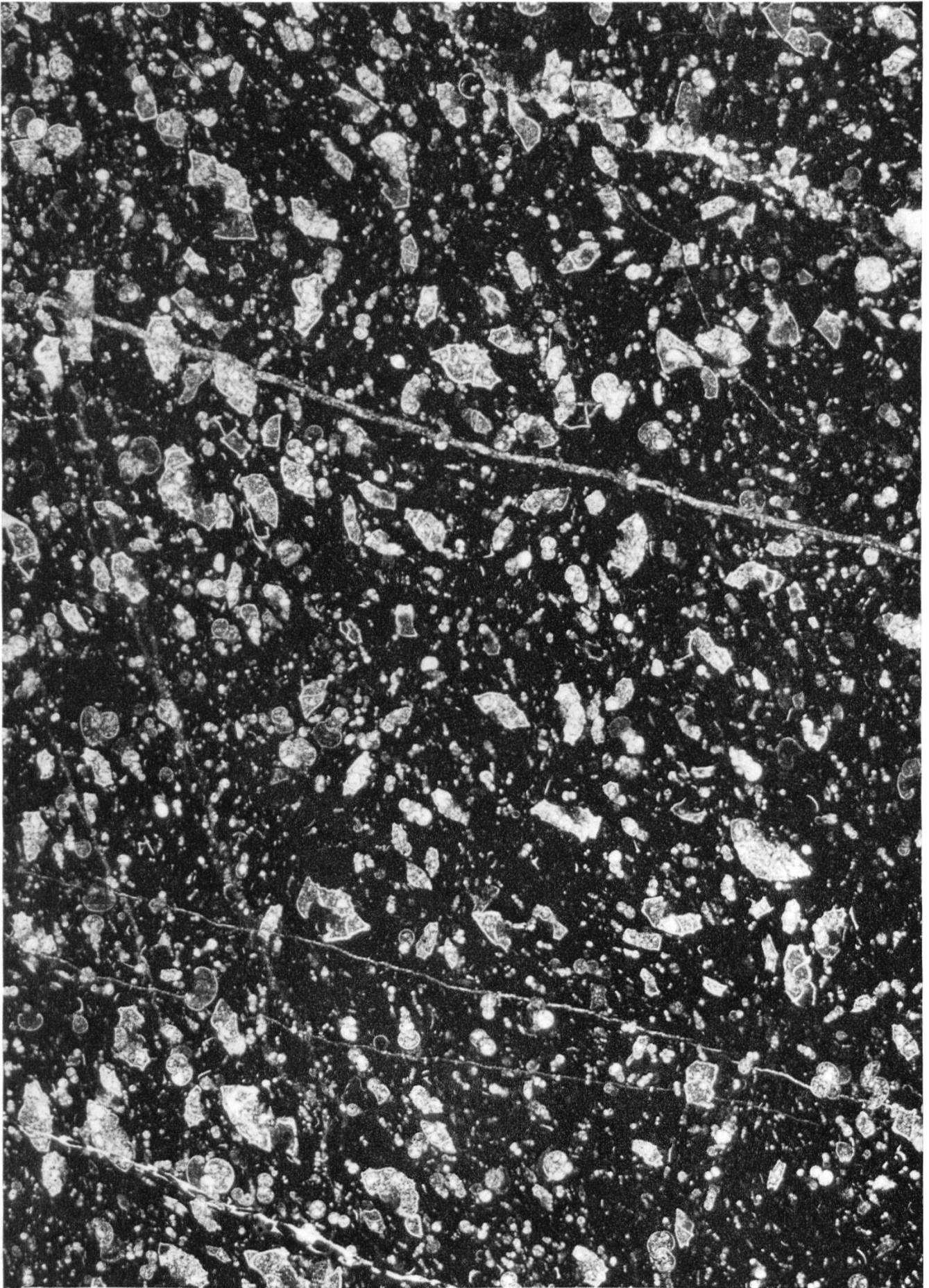


Fig. 3. Scaglia mit *Globotruncana linnei* (D'ORB.) und *Globotruncana stuarti* (DE LAPP.) = Zone 1b'.

Prof. II (M. Acuto), Schicht 23 (s. S. 35 u. Tafel I). 21 ×.

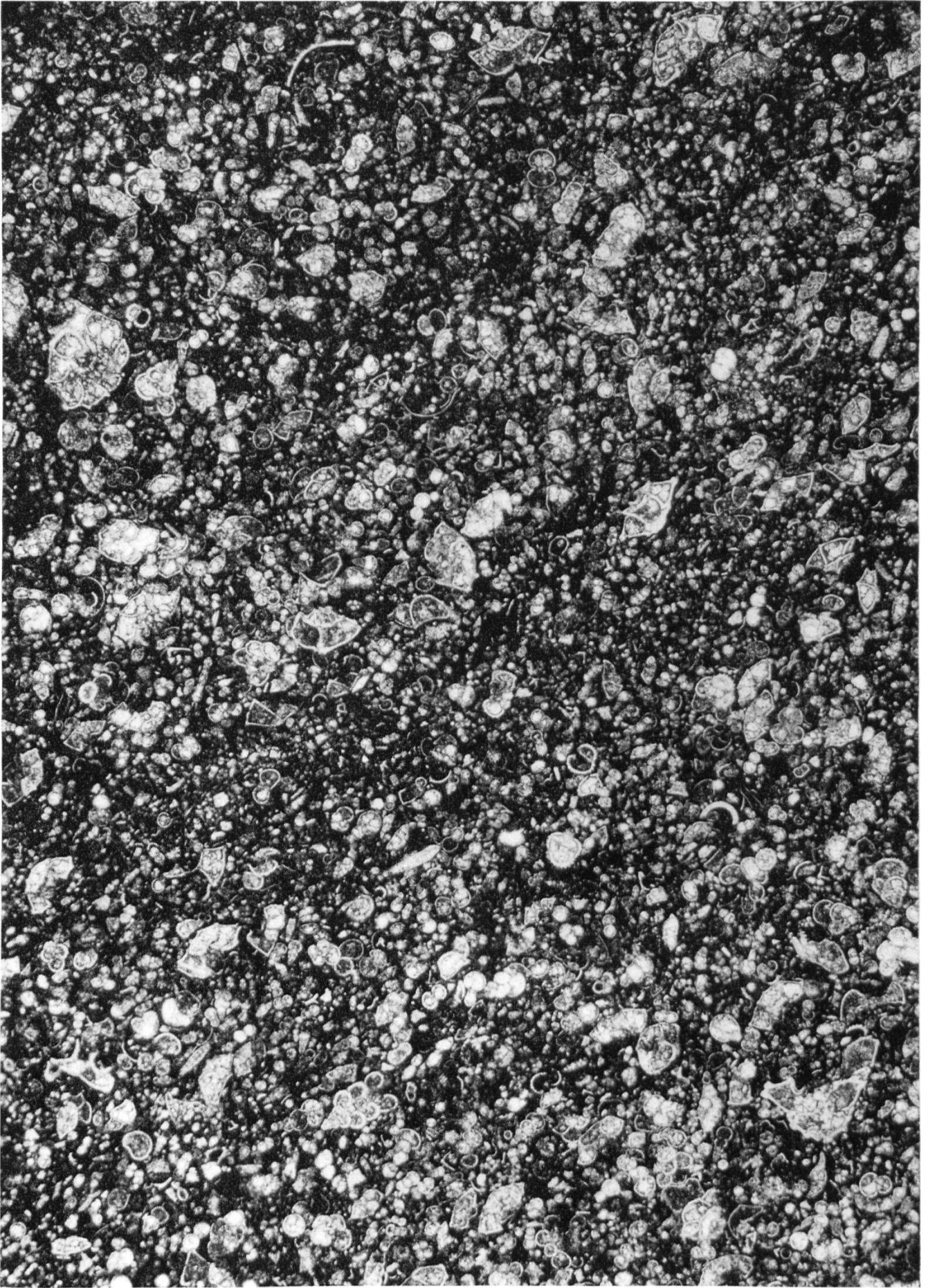


Fig. 4. Scaglia mit vorwiegend *Globotruncana stuarti* (DE LAPP) = Zone 1b''.
Prof. XIII (bei Arrone), Schicht 4 (s. S. 81 u. Tafel IV). 21 ×.

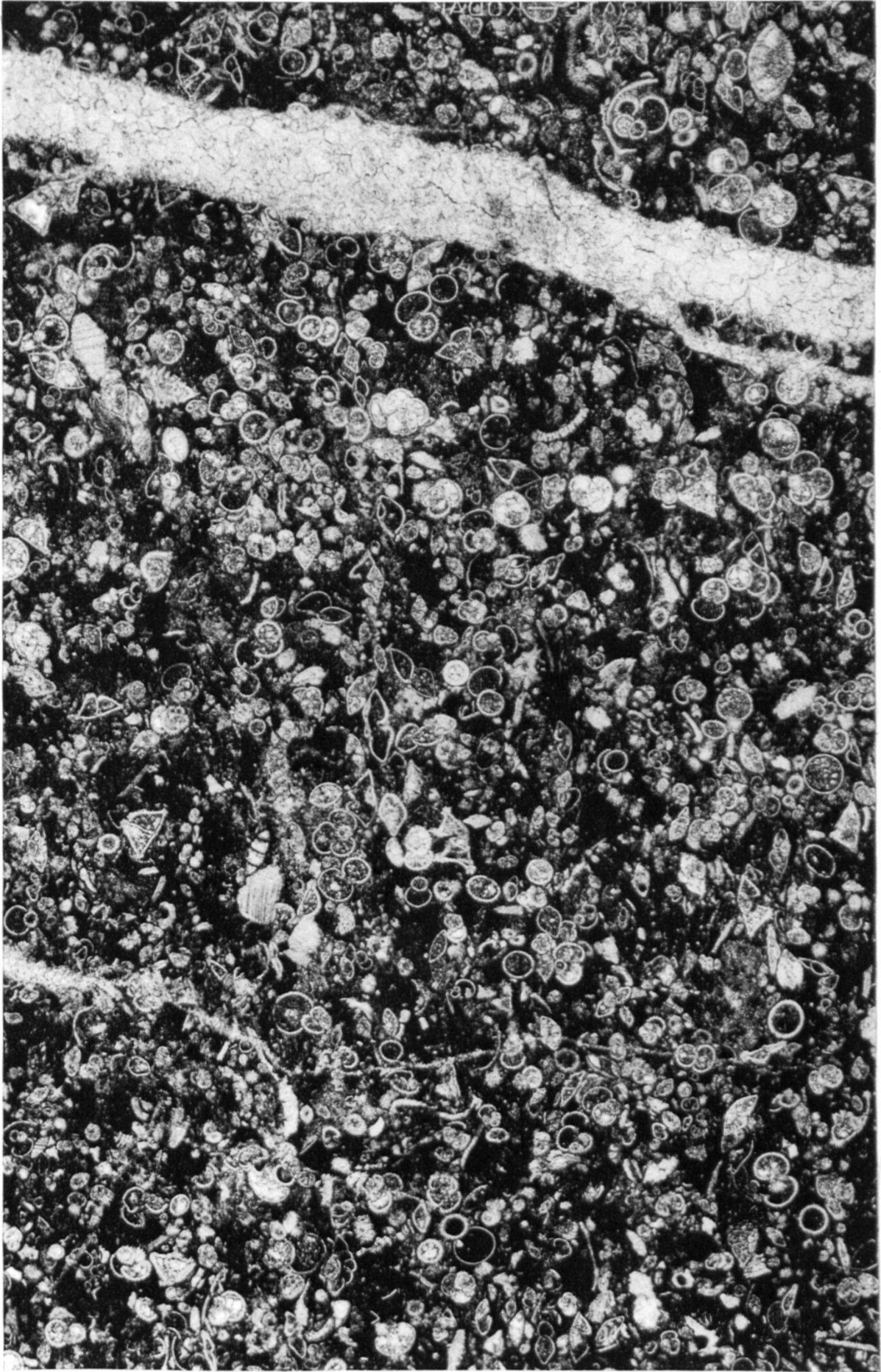
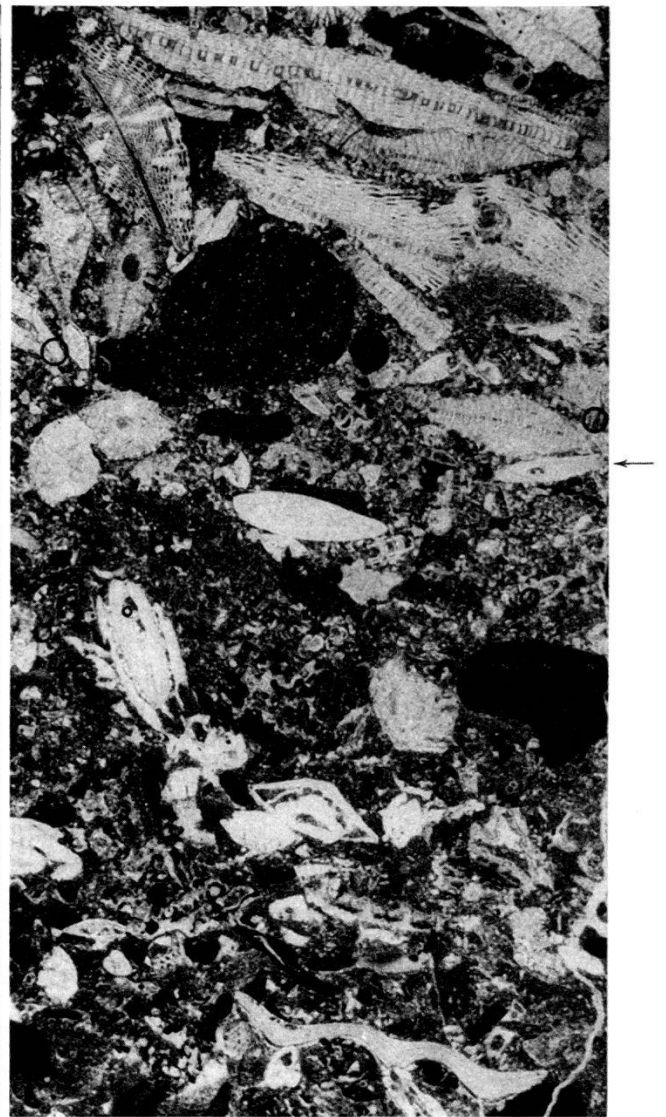
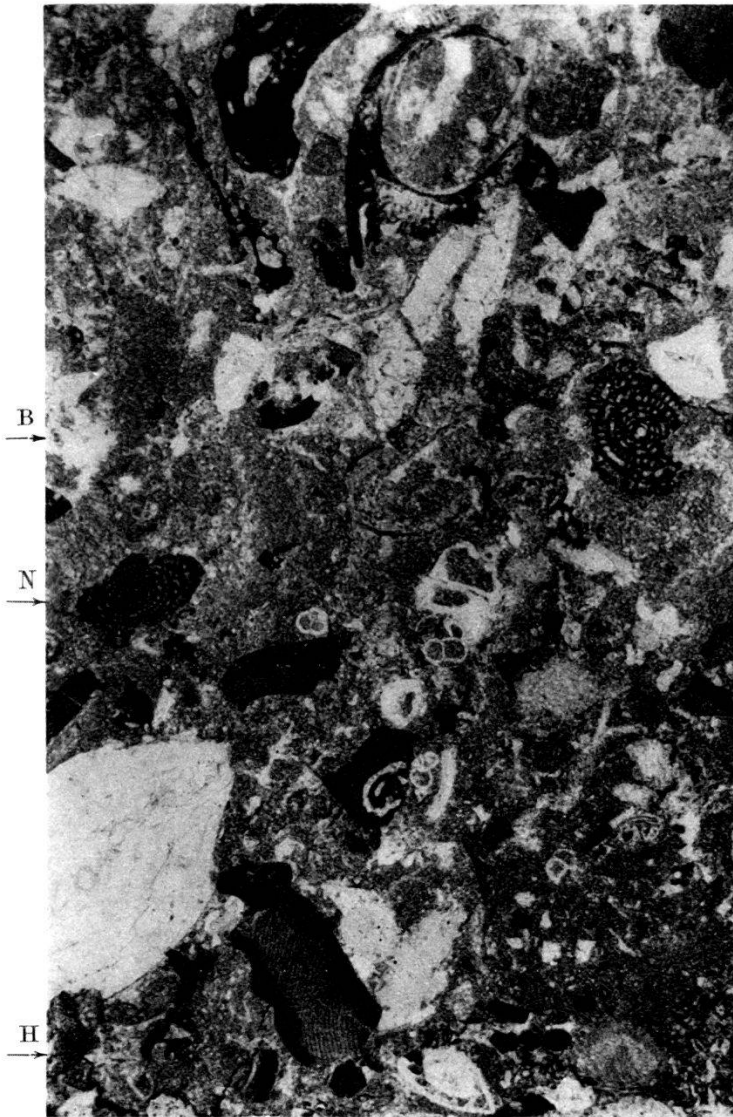


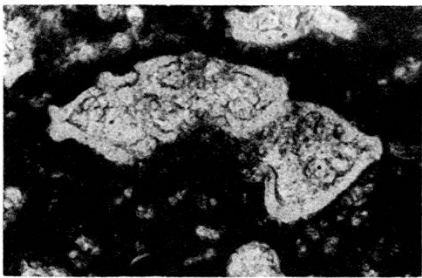
Fig. 5. Scaglia mit Globorotalien = Zone 2a.
Prof. XIII (bei Arrone), Schicht 13 (s. S. 82 u. Tafel IV). 21 ×.

Reprod. Birkhäuser, Basel.



1 a. Stampien mit *Neoalveolina* (links, N), *Bullalveolina* (rechts, B), *Halkyardia* (rechts, H), Nummuliten und Lithothamnien. 14 ×.

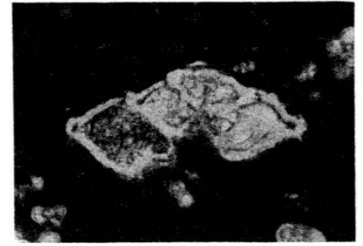
1 b. Grenze von Stampien zu Aquitanien (erstes Auftreten der Lepidocyclinen bei ←). M. Torretta. 7 ×.



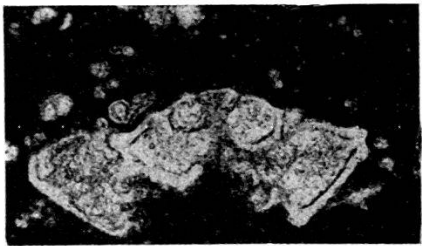
2



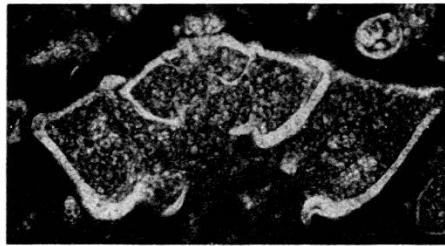
3



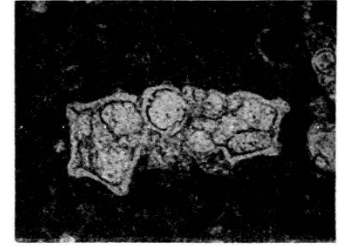
4



5



6



7

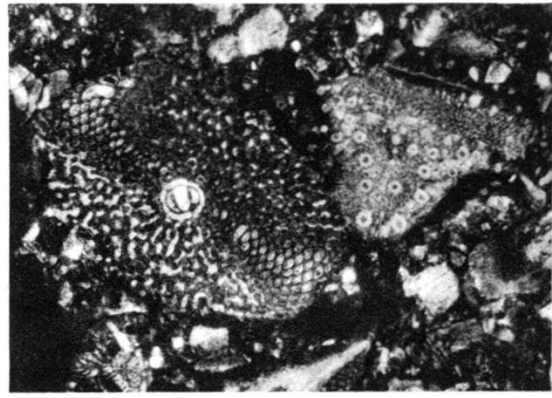
2, 3, 5. Zwischenform *G. appenninica*-*G. linnei*.

2: Prof. II, Schicht 12; 3: Prof. I, Schicht 13; 5: Prof. III, Schicht 11. 52 ×.

4. *Globotruncana appenninica* n. sp. Prof. II, Schicht 3. 52 ×.

6. *Globotruncana stuarti* (DE LAPP.) Prof. II, Schicht 24. 52 ×.

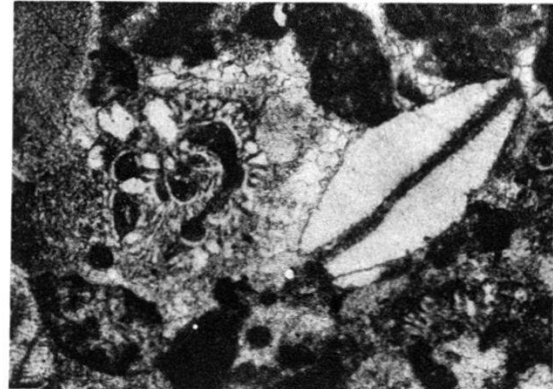
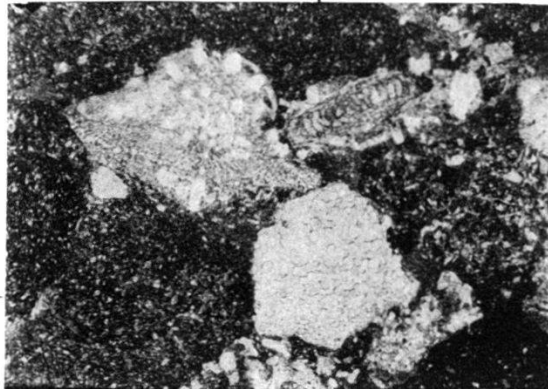
7. *Globotruncana linnei* (D'ORB.) Prof. I, Schicht 27. 52 ×.



I

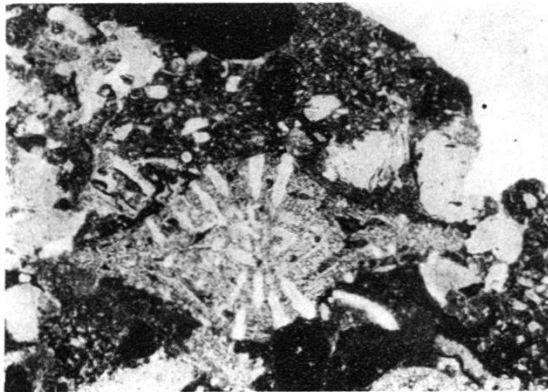
1

2

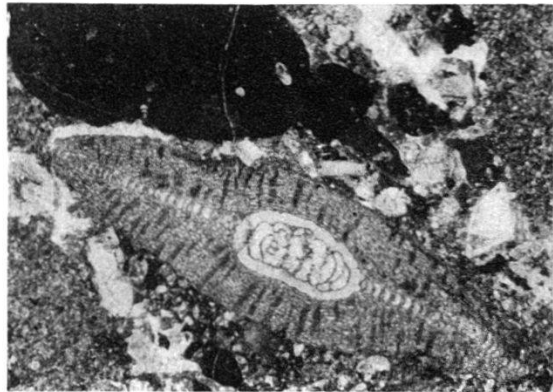


4

3



5



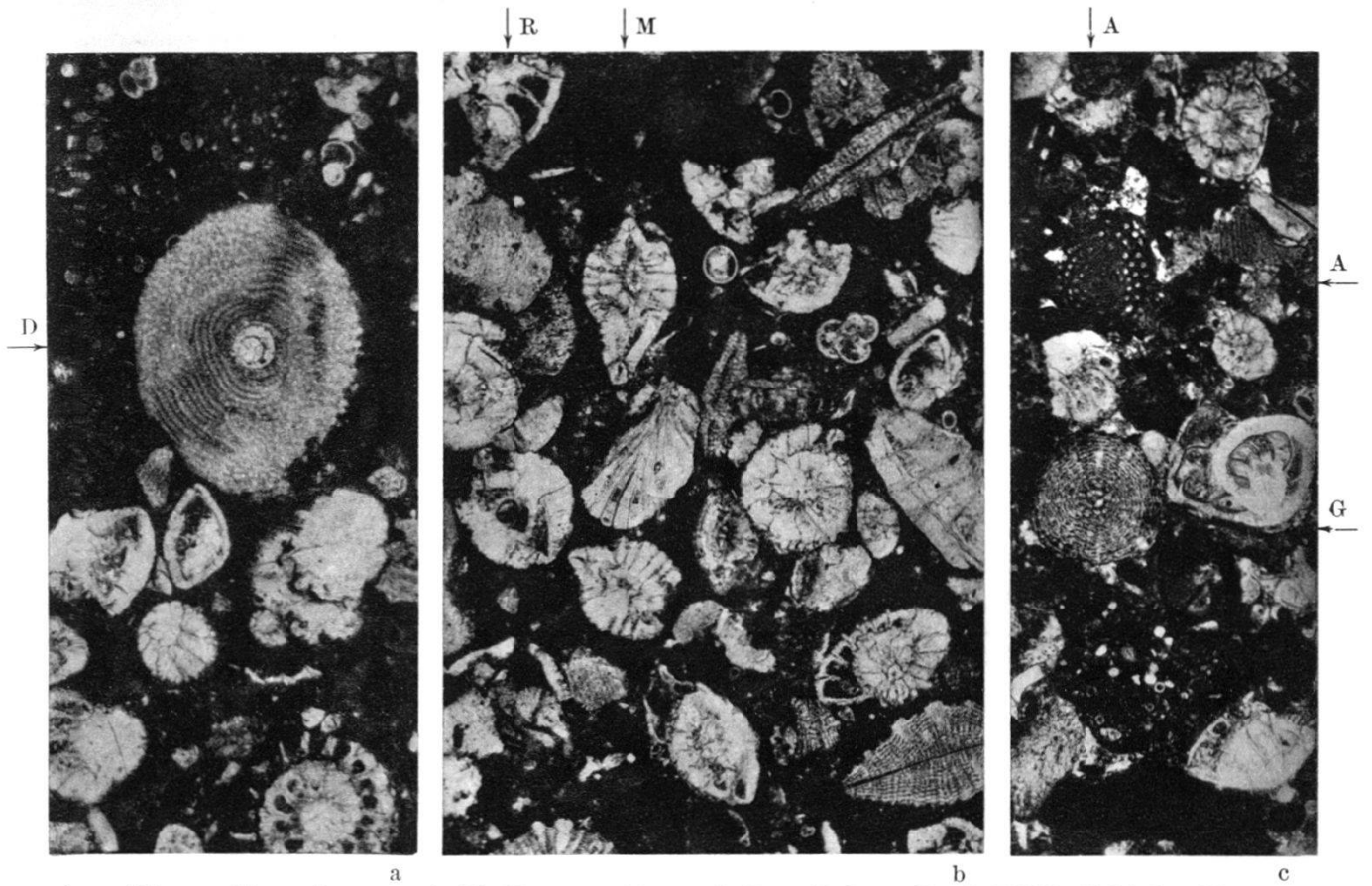
6

Obere Kreide.

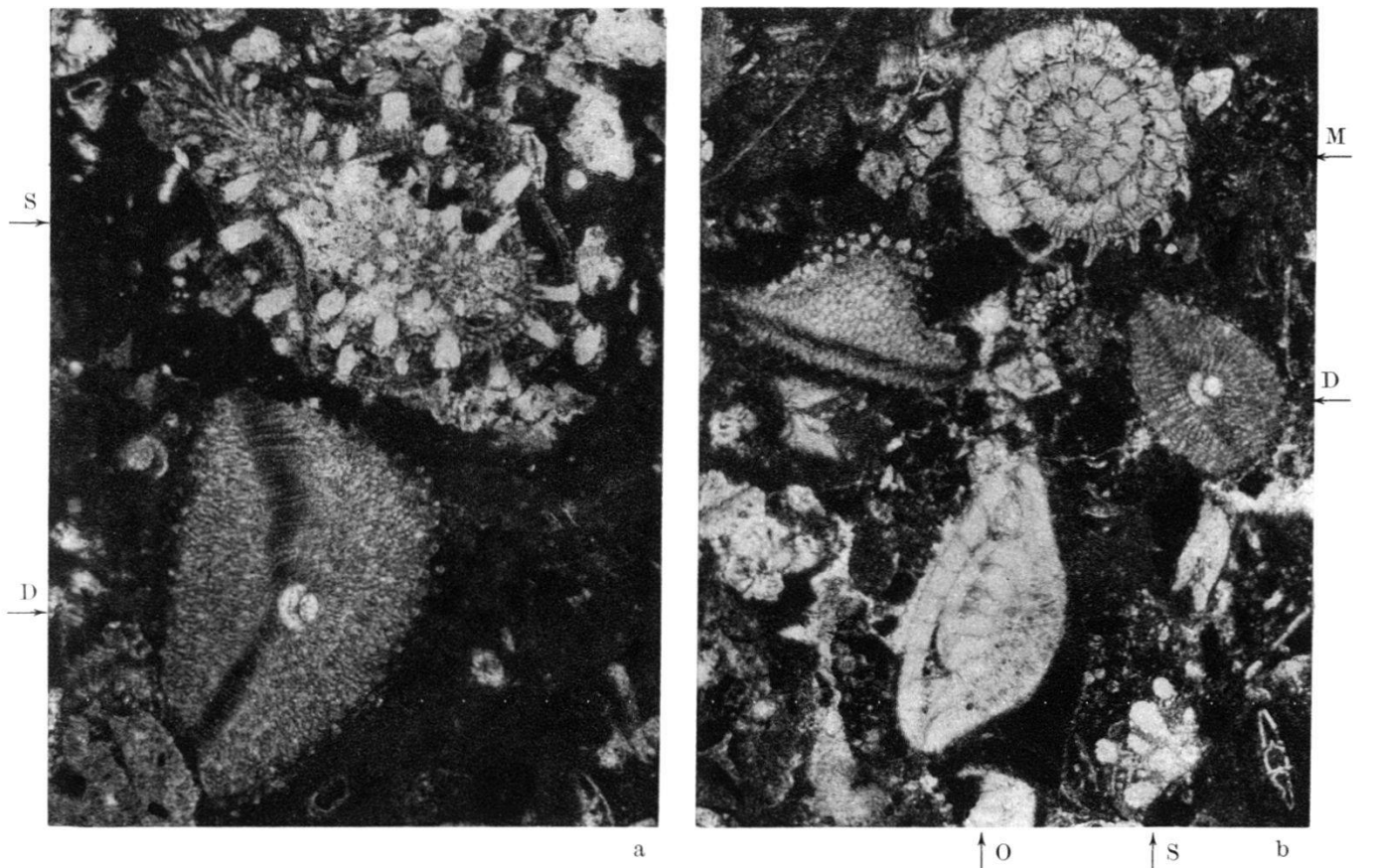
1. Orbitolinenkalk mit Rudistenfragment (Sc. mit *G. appenninica* n. sp.). Prof. XI, Schicht 13. 9 ×.
2. *Orbitoides media* D'ARCH. (links) und *Siderolites calcitrapoides* LAM. Maestrichtien, M. Roccaporena. 9 ×.
3. *Siderolites calcitrapoides* LAM., Orbitoiden und Inoceramenprismen (I). WNW Visso. 9 ×.
4. *Monolepidorbis* sp. (rechts), *Siderolites calcitrapoides* LAM. Prof. IV, Schicht 5. 25 ×.
5. *Siderolites vidali* H. DOUV. POSTA. 9 ×.
6. *Simplorbites gensacicus* (LEYM.) Prof. XIII, Schicht 5. 7 ×.

O. Renz phot.

Reprod. Birkhäuser, Basel.



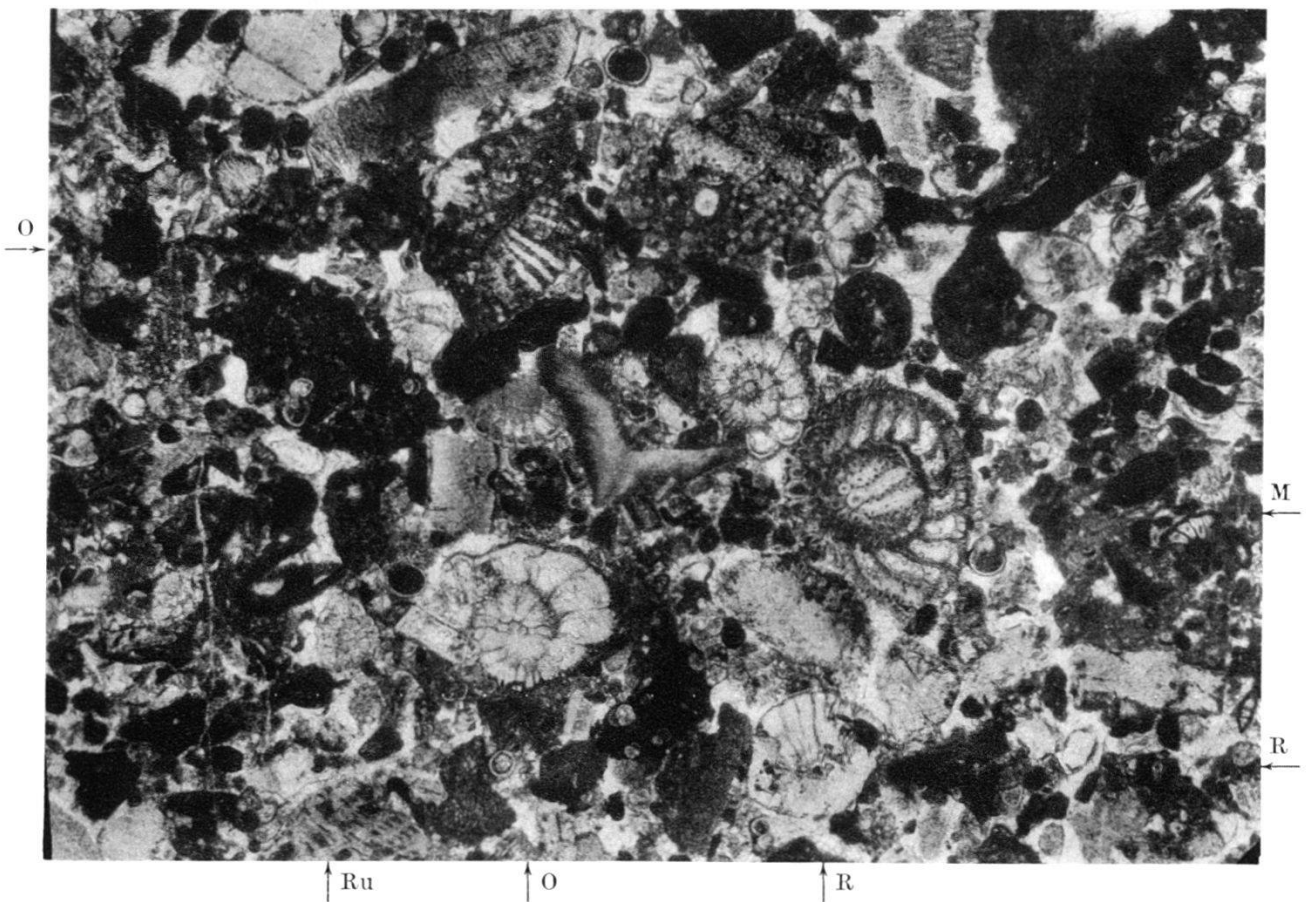
1 a: *Discocyclus* cf. *seunesi* (H. DOUV.) (D) und Rotaliiden. Prof. XIX, Schicht 16;
 b: *Miscellanea* cf. *miscella* (D'ARCH.) (M) und Rotaliiden (R). Prof. XIX, Schicht 21;
 c: *Gypsina globulus* REUSS (G) und *Alveolina* sp. (A). Prof. XIX, Schicht 12. Alle 14 ×.



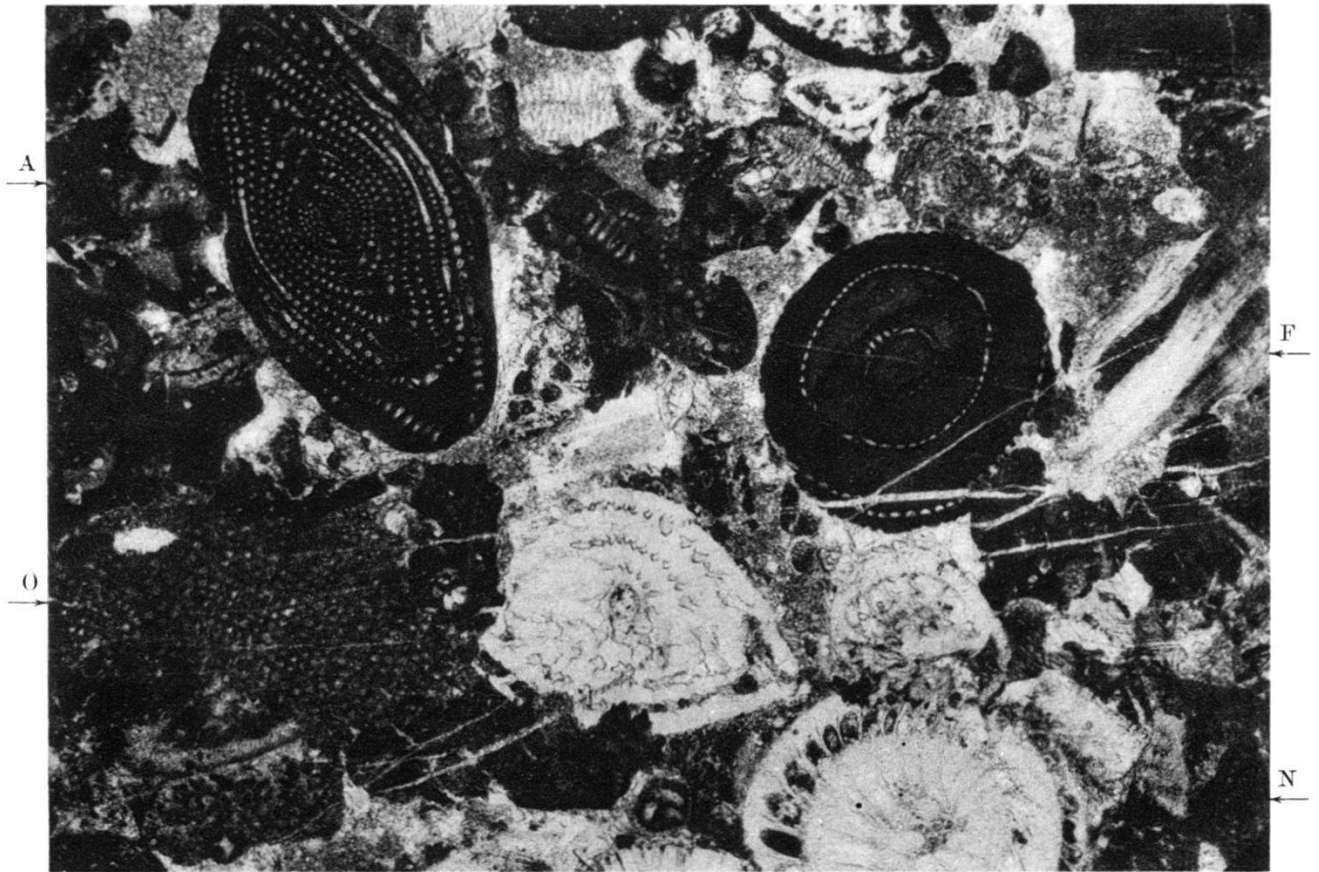
Paleocaen mit eingeschwemmten Kreidefossilien.
 2 a & b: *Miscellanea* cf. *miscella* (D'ARCH.) (M), *Discocyclus* cf. *seunesi* (H. DOUV.) (D), *Operculina* sp. (O) und *Siderolites calcitrapoides* LAM. (S) in Geröllen.
 Prof. XXIII a, Schicht 3. Beide 14 ×.



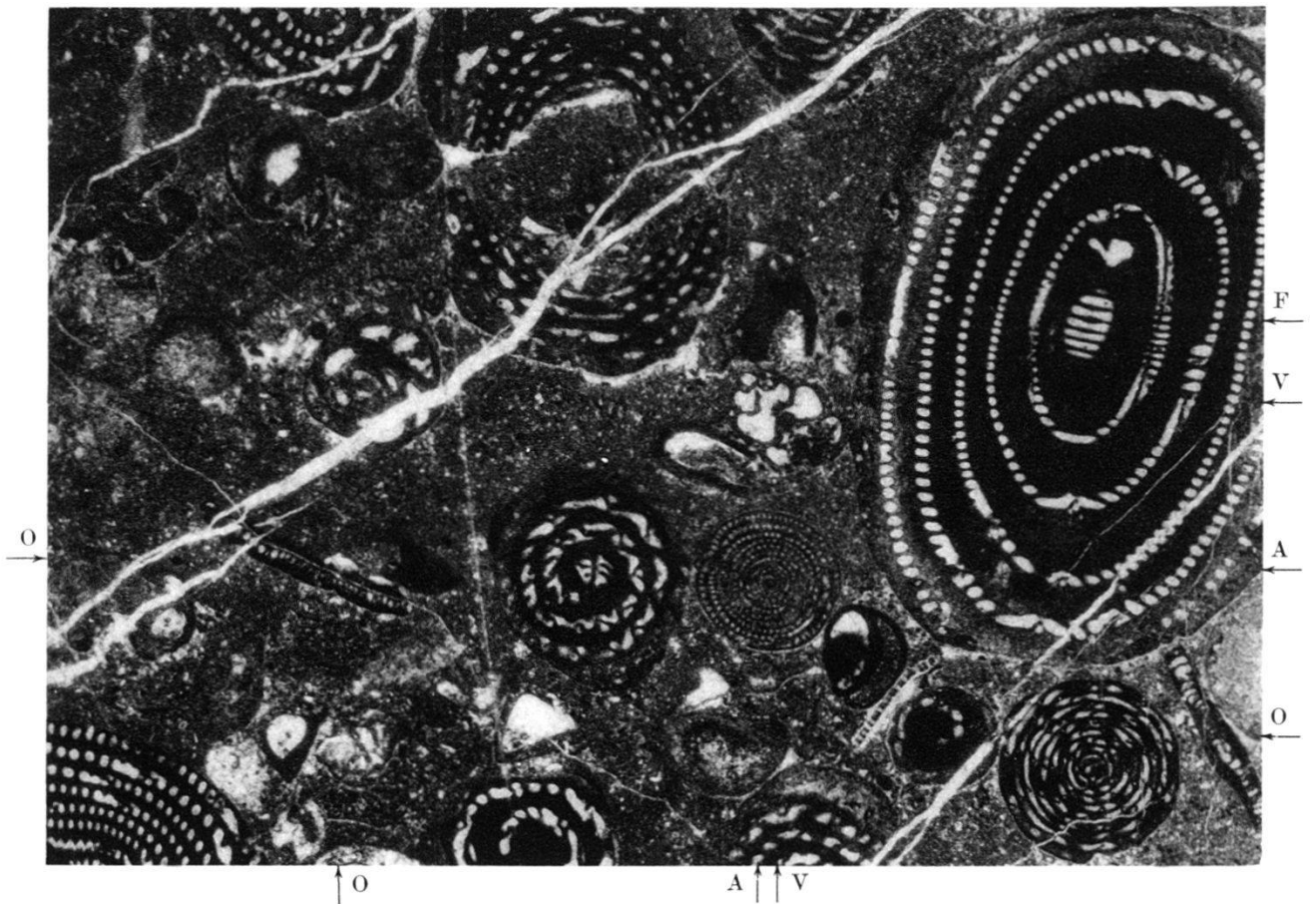
1. *Miscellanea cf. miscella* (D'ARCH.) (M) und eingeschwemmtes Fragment von *Siderolites* (S). Paleocaen. Prof. XIII, Schicht 14. 14 ×.



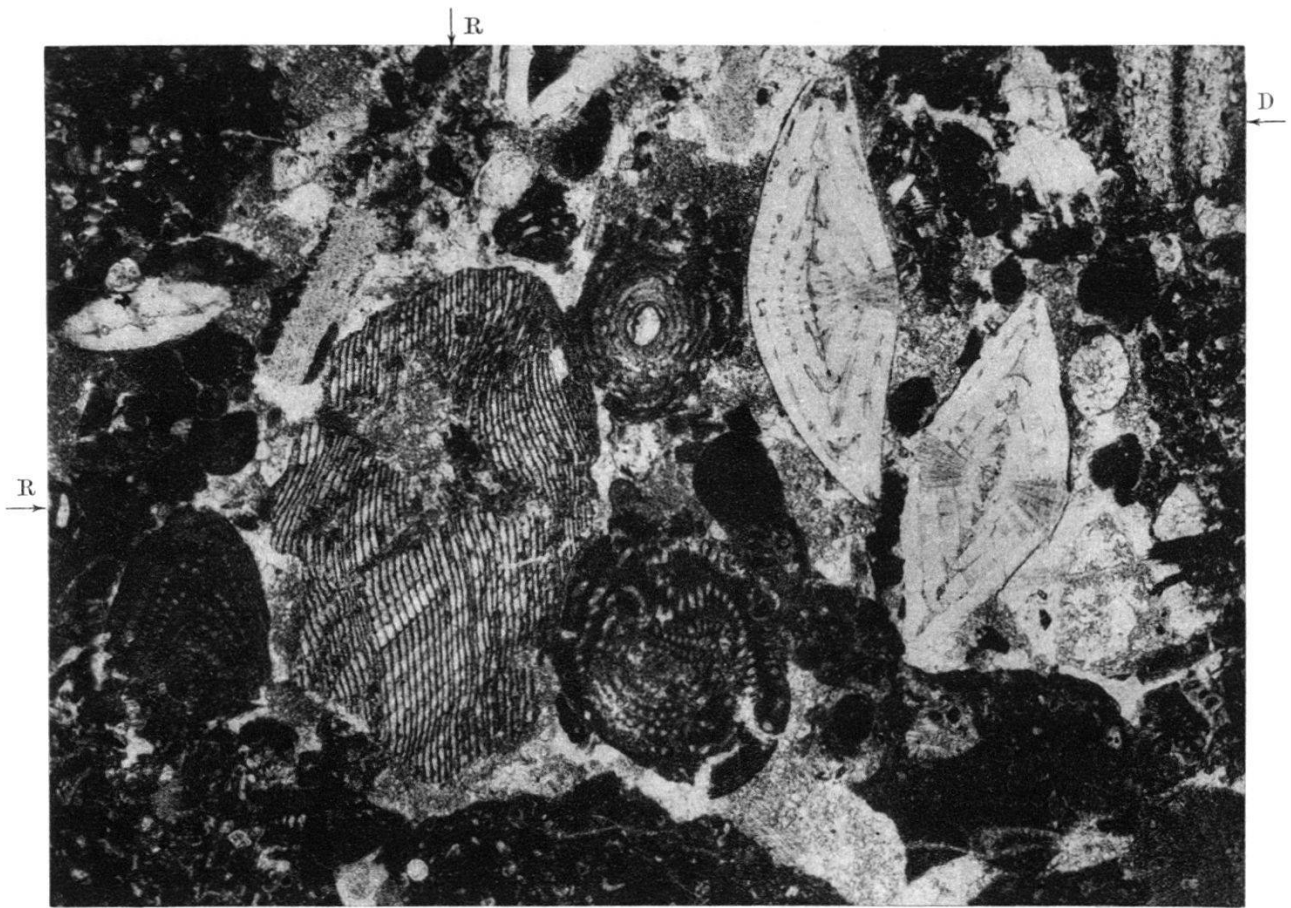
2. *Miscellanea* sp. (M), *Rotalia* (R), eingeschwemmte Fragmente von kretazischen Orbitoiden (O) und Rudisten (Ru) (unten). Paleocaen. Prof. XIII, Schicht 14. 14 ×.



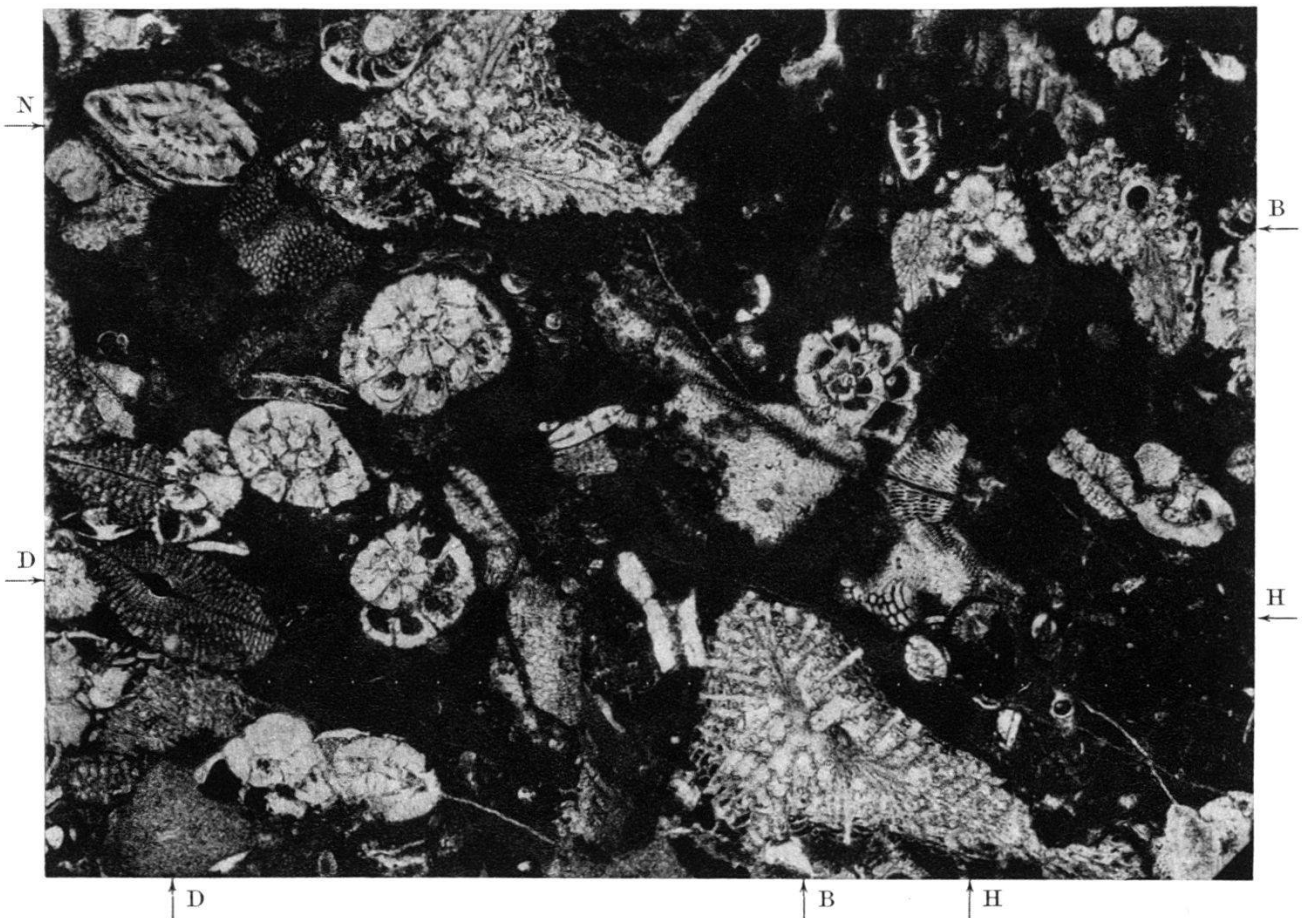
1. Mittleres Eocaen vom M. Montarello (Prof. IV). Radiate Nummuliten (N), gerollte Alveolinen (*A. schwageri* CH.-RISP. (A) und Flosculinen (F)) und Orbitoliten (O). 14 ×.



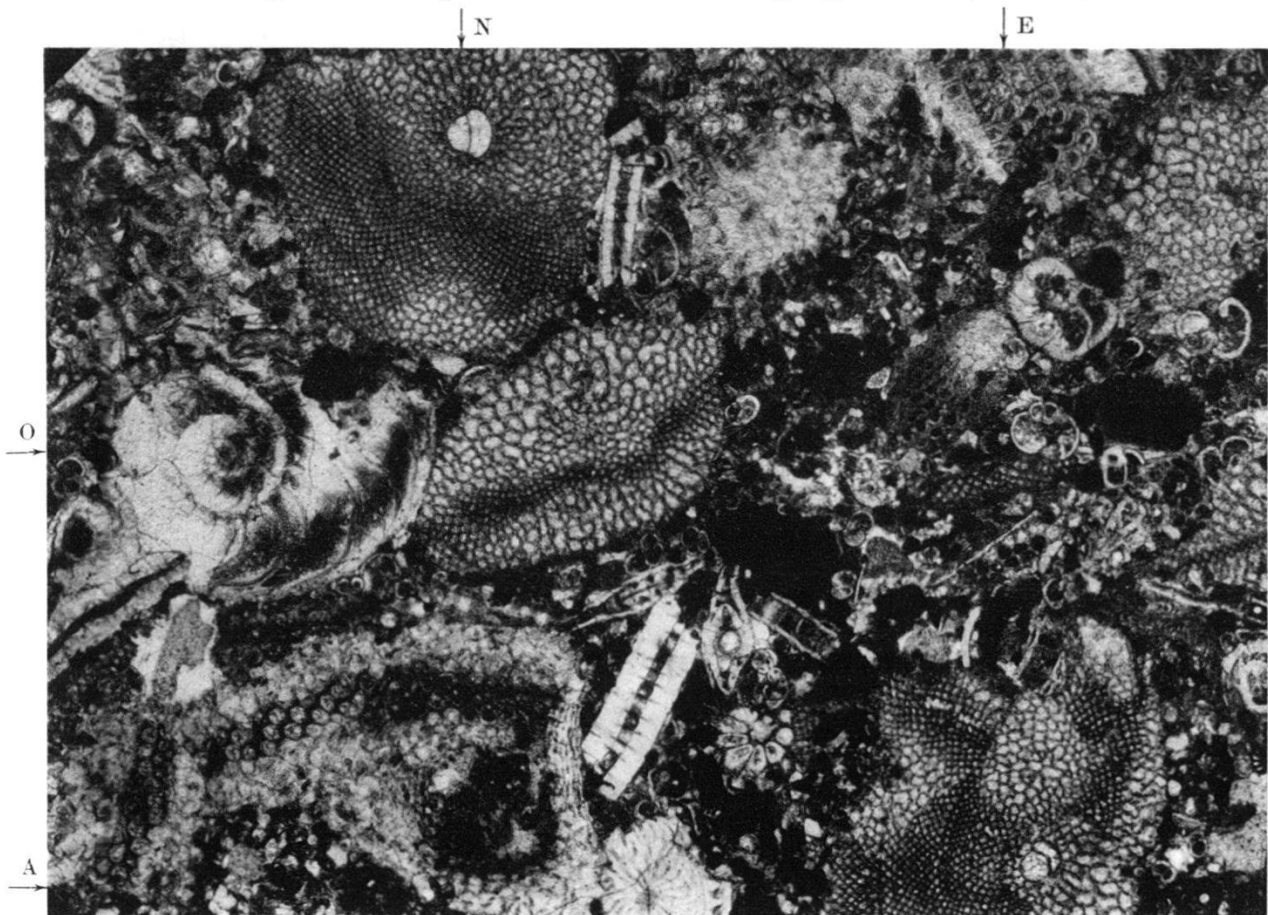
2. Alveolinenkalkgeröll (Yprésien) vom M. Torretta (Prof. XXI/2, Schicht 3) mit *Alveolina* sp., *A. minutula* REICHEL (A) (S. 138), *Alveolina* (*Flosculina* sp.) (F), *Orbitolites complanatus* LAM. (O) und Valvulinen (V). 14 ×.



1. Mittleres Eocaen von Il Poggiolo mit radiaten Nummuliten, gerollten Alveolinen, Discocyclinen (D) und eingeschwemmtem Rudistenfragment (R). 14 ×.



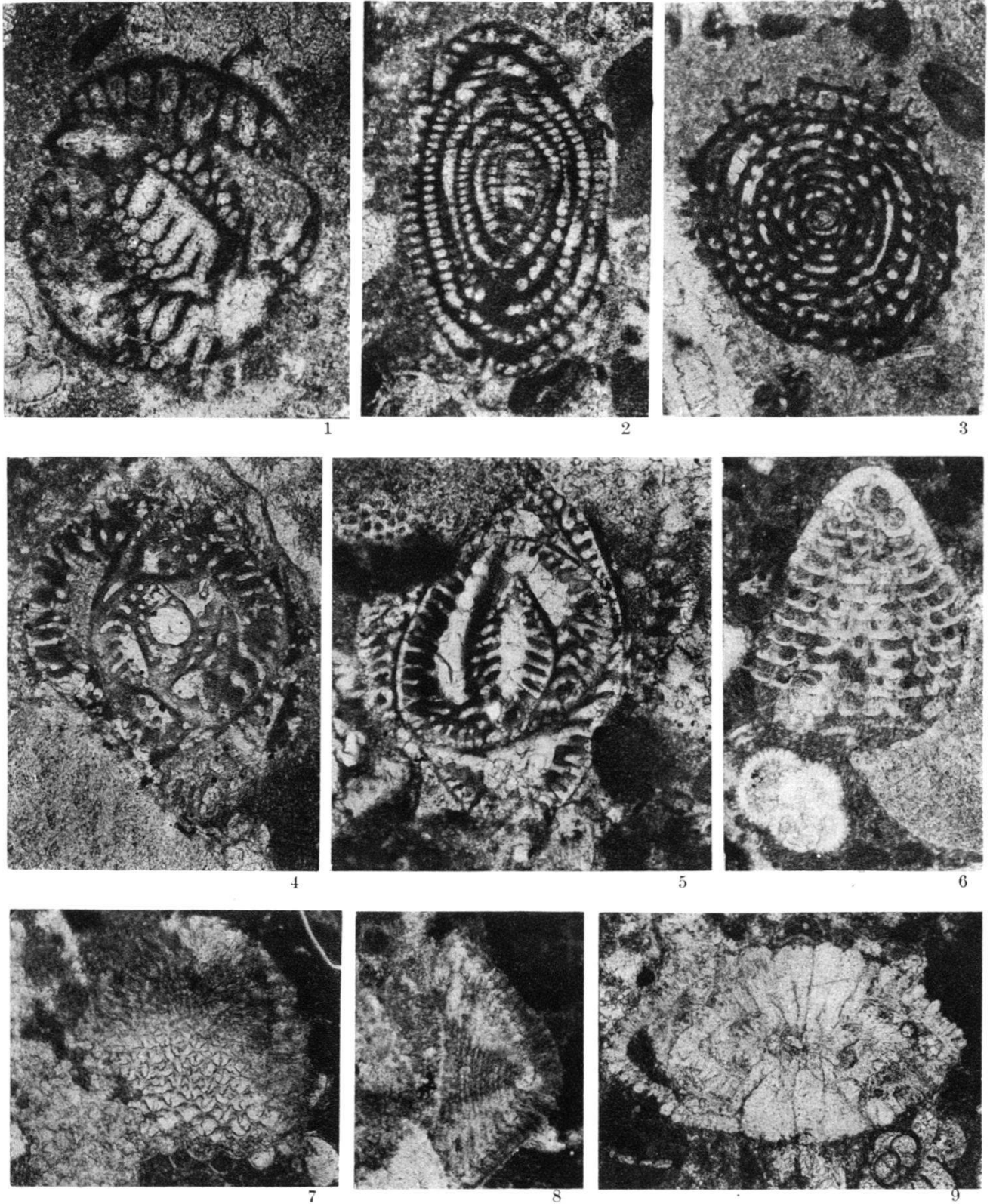
2. Obereocaener Baculogypsinenkalk (*B. meneghinii* var. *tetraedra* SILV. (B)) mit Discocyclinen (D), kleinen radiaten Nummuliten (N), Rotaliiden und *Halkyardia* (H). Prof. XXIV, Schicht 12. 14 ×.



1. Aquitaner Lepidocyclinenkalk (*Nephrolepidina tournoueri* L. & D. (N), Fragmente von Eulepidinen (E), *Operculina complanata* DEFR. (O), Amphisteginen (A), Rotaliiden und Globigerinen). Prof. XXIV, Schicht 27. 14 ×.



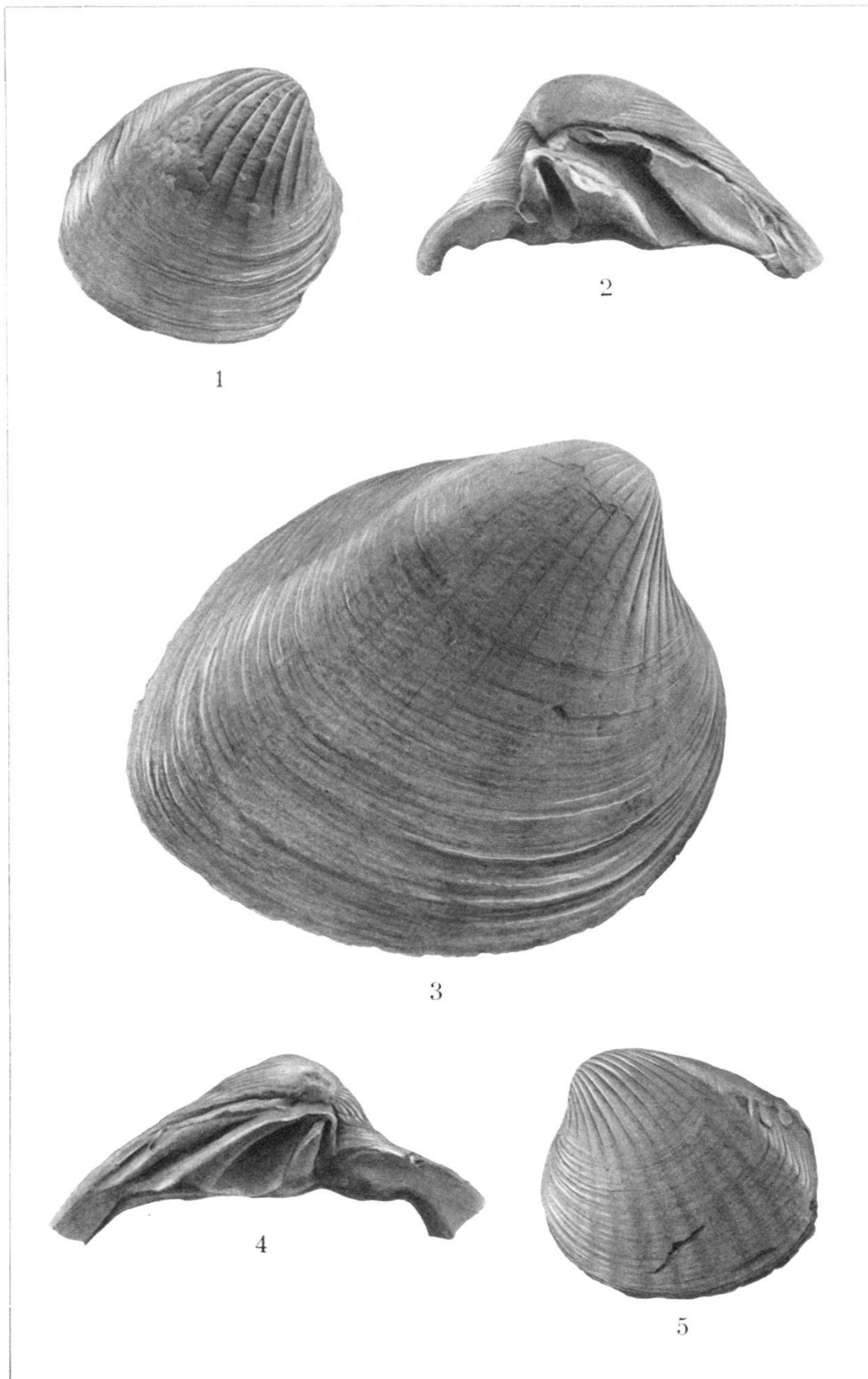
2. Miogypsinenkalk (*M. irregularis* MICH. (I), *M. complanata* SCHLUMB. (C), Nephrolepidinen (N), Fragmente von Eulepidinen (E), Rotaliiden (R)). Prof. XXI/1. 14 ×.



1. *Bullalveolina* cf. *bulloides* (D'ORB.) nach M. REICHEL, (S. 140). Unteres bis mittleres Oligocaen. Prof. XXIV, Schicht 20. Tangential. 55 ×.
2. *Neoalveolina* cf. *pygmaea* HANZAWA. Unteres Aquitanien. Prof. XXI/11. Tangential. 55 ×.
3. *Neoalveolina* sp. Oberstes Eocaen. Prof. XXIV, Schicht 16. Fast axial. 55 ×.
- 4 & 5. *Trillina howchini* SCHLUMB. Burdigalien, M. Galletto, südl. M. Murlo. 55 ×.
6. *Chapmanina gassinensis* SILV. Grenze Oberes Eocaen-Oligocaen. Prof. XXIV, Schicht 18. 40 ×.
- 7 & 8. *Halkyardia minima* (LIEBUS)
7: Prof. XXIV, Schicht 9;
8: Prof. XIV A, Schicht 5. 52 ×.
9. *Miscellanea miscella* (D'ARCH.) Prof. XVIII, Schicht 6. 30 ×.

Erklärung zu Tafel XVI.

- | | Seite |
|--|-------|
| Fig. 1. <i>Venericardia</i> cf. <i>parinensis</i> OLSSON. Fundort Nr. 22 (Marac Quarry).
Alter: Soldadoformation, Paleocaen. — Mus. Basel Nr. 207 (22). 1 : 1 | 176 |
| Fig. 2. <i>Venericardia tonosiensis</i> n. sp. Paratyp. Fundort: Zw. Bucaru an d.
Mündung des Rio Tonosi u. Punta Guanico, Prov. Los Santos,
Panama. Alter ? Unt. Obereocaen. — Mus. Basel Nr. 210. 1 : 1.
A. A. OLSSON coll. | 168 |
| Fig. 3. <i>Venericardia tonosiensis</i> n. sp. Holotyp. Fundort u. Alter wie bei
Fig. 2. — Mus. Basel Nr. 211. 1 : 1. A. A. OLSSON coll. | 168 |
| Fig. 4. <i>Venericardia tonosiensis</i> n. sp. Paratyp. Fundort u. Alter wie bei
Fig. 2. — Mus. Basel Nr. 212. 1 : 1. A. A. OLSSON coll. | 168 |
| Fig. 5. <i>Venericardia</i> cf. <i>parinensis</i> OLSSON. Fundort Nr. 22 (Marac Quarry).
Alter: Soldadoformation, Paleocaen. — Mus. Basel Nr. 206 (22). 1 : 1 | 176 |
-



Erklärung zu Tafel XVII:

	Seite
<p>Fig. 1. <i>Venericardia ameliae maracensis</i> HARRIS. Fundort Nr. 22 (Marac Quarry). Alter: Soldadoformation, Paleocaen. — Mus. Basel Nr. 213 (22). 1:1. Exemplar mit ziemlich deutlicher Dreiteilung der Rippen</p>	201
<p>Fig. 2. <i>Venericardia ameliae maracensis</i> HARRIS. Fundort Nr. 22 (Marac Quarry). Alter: Soldadoformation, Paleocaen. — Mus. Basel Nr. 214 (22). 1:1</p> <p>a) Linke Klappe mit kräftigen, warzenförmigen Dornen. b) Ansicht desselben Gehäuses von vorn.</p>	201
<p>Fig. 3. <i>Venericardia ameliae</i> PERON. Fundort Nr. 22 (Marac Quarry). Alter: Soldadoformation, Paleocaen. — Mus. Basel Nr. 215 (22). 1:1</p>	200
<p>Fig. 4. <i>Venericardia ameliae maracensis</i> HARRIS. Fundort Nr. 22 (Marac Quarry). Alter: Soldadoformation, Paleocaen. — Mus. Basel Nr. 216 (22). 1:1</p> <p>a) Innenansicht einer rechten Klappe. b) Aussenansicht derselben Klappe. Relativ niedriges Gehäuse mit stark gerundeten Rippen.</p>	201



1



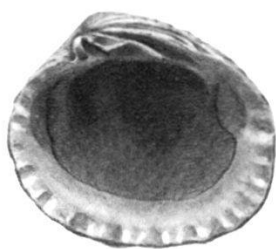
2a



3



2b



4a



4b

Série stratigraphique de la zone ultrahelvétique.

J. TERCIER: Zone ultrahelvétique en Autriche.

— = Base du faciès Flysch

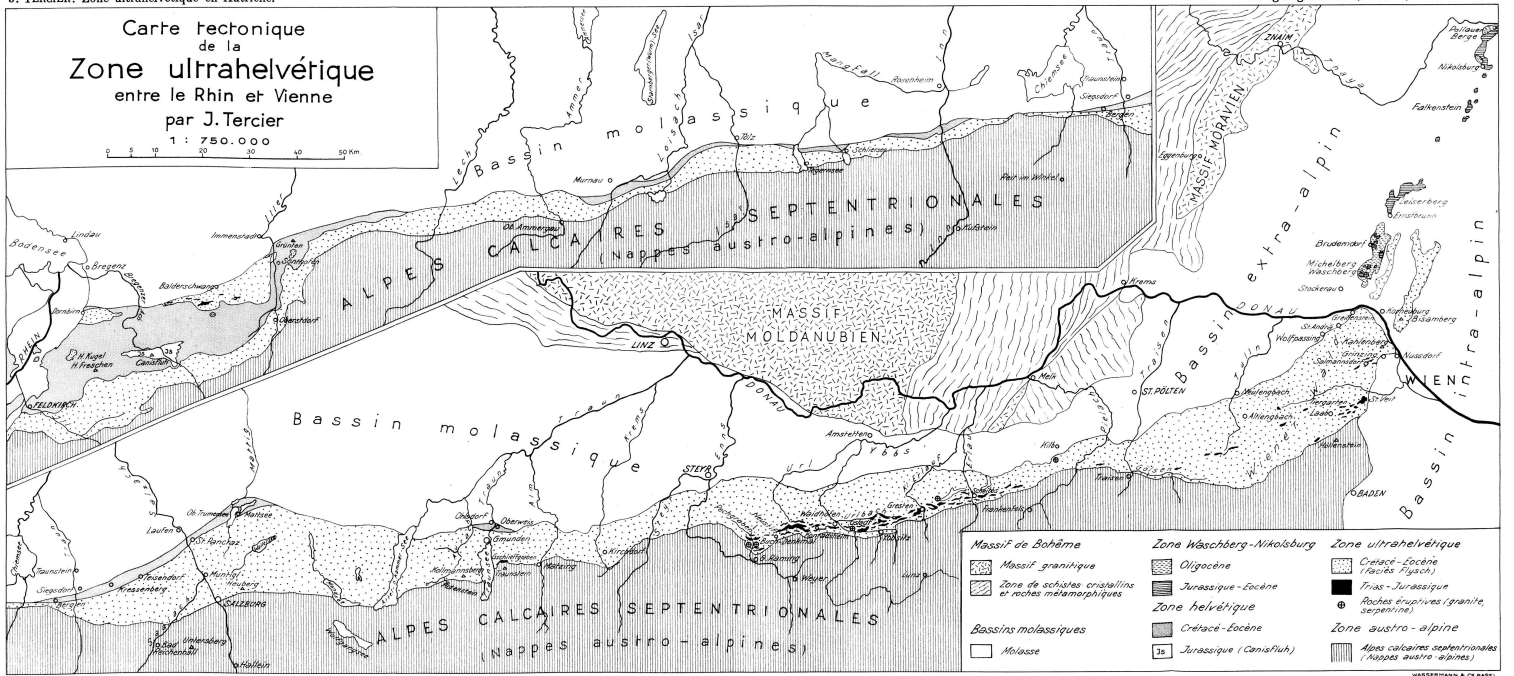
Eclogae geol. Helv., Vol. 29, Planche XVIII.

	Suisse occidentale	Suisse orientale — Vorarlberg	Bavière	Région de Salzbourg—Traunsee	Région de Waidhofen	Région de Scheibbs	Wienerwald et zone des klippen (Ober St. Veit, Lainzer Tiergarten)	
Oligocène Eocène Paléocène	— Grès du Gurnigel Wildflysch	— Grès à nummulites Wildflysch	Grès à nummulites Calc. bréchoïde à nummulites	Grès à nummulites Calcaire à nummulites	Grès à nummulites Calcaire à nummulites	Grès glauconieux à nummulites	Grès de Greifenstein	Grès de Laab
Crétacé	Sénonien: Couches de Leimern Turonien: Calcaires et marnes Albien Barrémien-Aptien Hauterivien Valanginien Berriasien	Sénonien: Marnes, local. faciès Wildflysch Turonien: Calcaires et marnes Barrémien-Aptien: Couches du Drusberg	Marnes rouges avec grès Couches à ciment (à la base, faciès Wildflysch) Couches à Orbitolines	Marnes rouges et grès à inocérames Flysch à inocérames (Flysch de Muntigl ou de Salzbourg)	Schistes bariolés? Couches à inocérames Flysch néocomien	Schistes bariolés Couches à inocérames Flysch néocomien	Schistes bariolés? Couches à inocérames	Grès glauconieux Flysch néocomien
	Calcaire tithonique à <i>Aptychus</i> Malm Dogger Lias	Calcaire gréseux à <i>Aptychus</i> (Fläscherberg)	Calcaire à <i>Aptychus</i>	? Manque à l'affleurement Lias: Couches de Gresten (Gschlieffgraben)	Marnes et calcaires à <i>Aptychus</i> (Tithonique-Valanginien) Malm Dogger Lias	Succession complète des étages avec abondantes zones à ammonites		
Trias supérieur	Marnes bariolées Dolomie et corgneule Gypse				Couches de Kössen Corgneule, Dolomie		Couches de Kössen	
Soubassement cristallin	Connu seulement en dépôts secondaires dans le Flysch, accessoirement dans la série jurassique				Granite du Buch-Denkmal	Serpentine de Kilb?	En dépôts secondaires dans le Flysch	

Carte tectonique de la Zone ultrahelvétique entre le Rhin et Vienne par J. Tercier

1 : 750.000

0 10 20 30 40 50 Km



WASSERHANN & CO. BASEL

Erklärung zu Tafel XX



Fig. 1. Feinkonglomeratischer Kalk mit

- 1 *Orbitoides media* (D'ARCH.), Kreide
- 2 *Nummulites subatacicus* H. DOUV., Eocaen
- 3 *Eulepidina* sp., Aquitanien
- 4 *Amphistegina* sp.
- 5 *Rotalia tuberculata* SCHUBERT
- 6 *Operculina* sp.
- 7 *Lithothamnium*

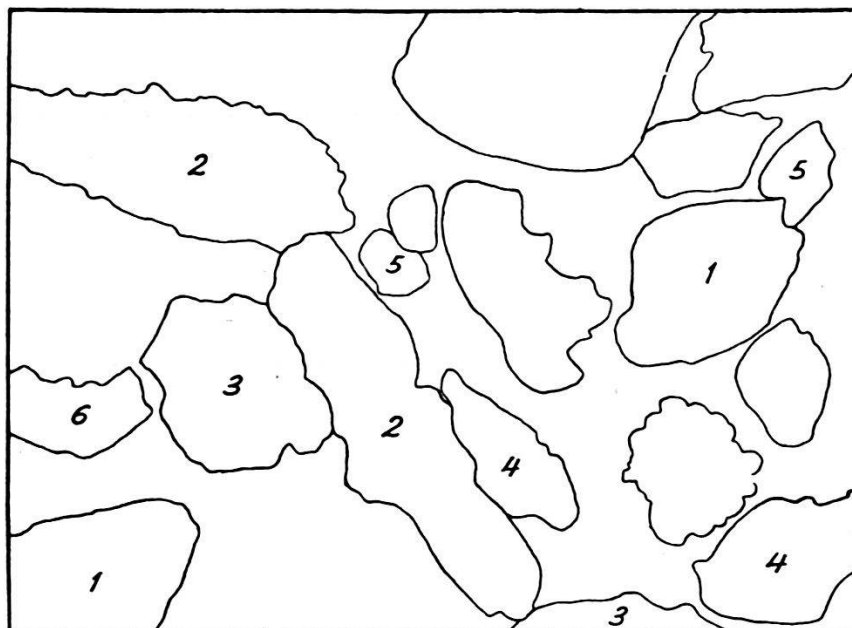


Fig. 2.

- 1 *Orbitoides media* (D'ARCH.), Kreide
 - 2 *Eulepidina dilatata* (MICH.), Aquitanien
 - 3 *Nephrolepidina* sp.
 - 4 *Heterostegina* sp.
 - 5 *Amphistegina* sp.
 - 6 *Miogypsina complanata* SCHLUMB., Burdigalien
- } Oligocaen-Miocaen

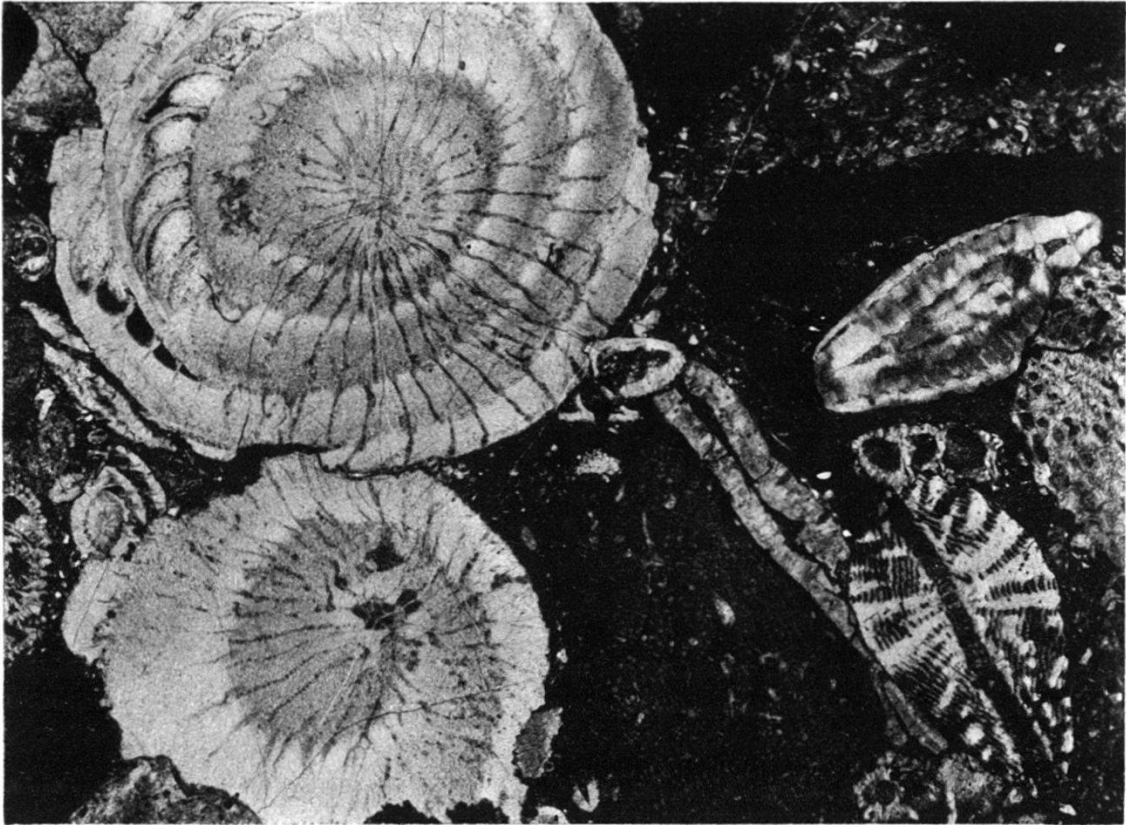


Fig. 1. Vergr. 15 ×.

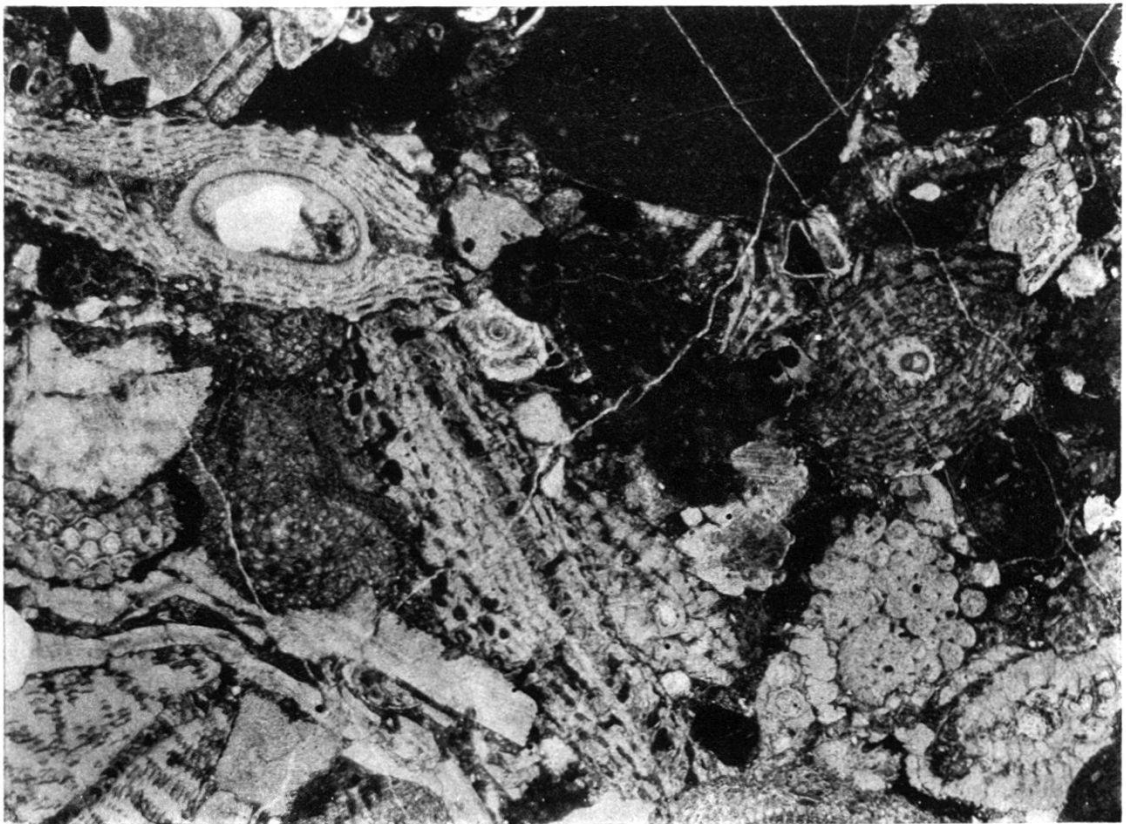


Fig. 2. Vergr. 15 ×.

Erklärung zu Tafel XXI

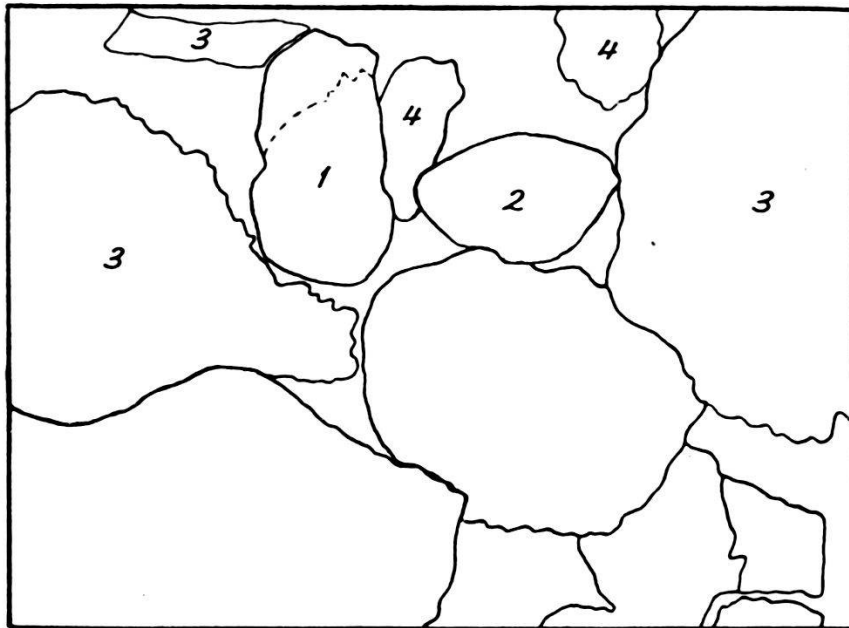


Fig. 1. Feinkonglomeratischer Kalk mit

- 1 *Siderolites* cf. *calcitrapoides* LAM., Oberkreide
- 2 *Nummulites* sp., Eocaen
- 3 *Eulepidina dilatata* (MICH.), Aquitanien
- 4 *Miogypsina complanata* SCHLUMB., Burdigalien

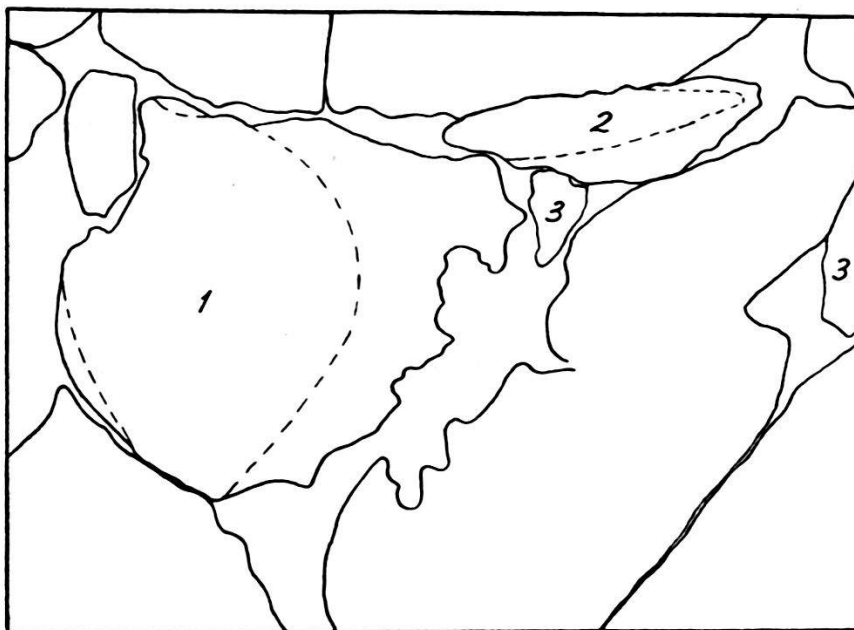


Fig. 2.

- 1 *Nummulites* cf. *subatacicus* H. DOUV., Eocaen
- 2 *Discocyclina* sp. in Geröll, Eocaen
- 3 Bruchstücke von *Lepidocyclinen* in der Grundmasse, Oligocaen



Fig. 1. Vergr. 15 ×.



Fig. 2. Vergr. 15 ×.

Erklärung zu Tafel XXII

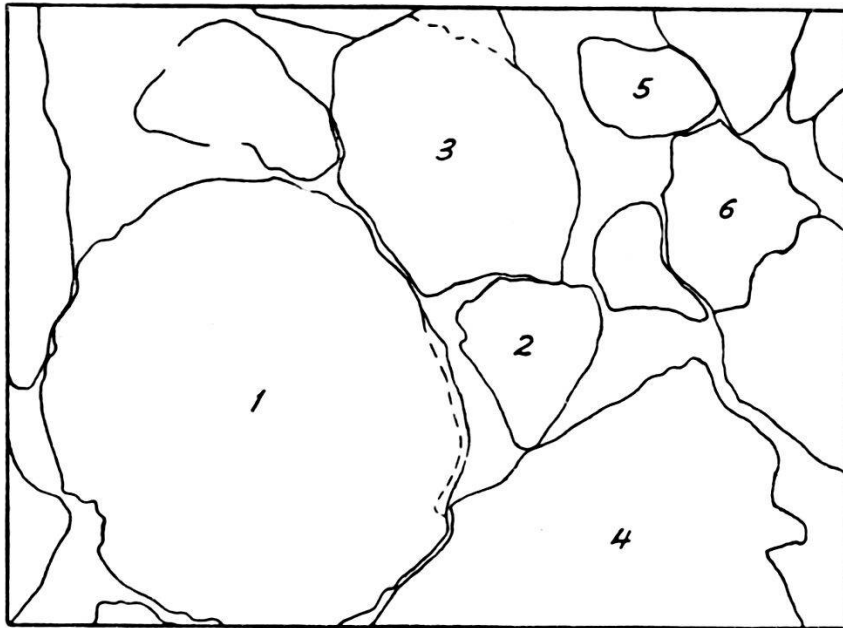


Fig. 1.

- 1 *Nummulites subatacicus* H. Douv., Eocaen
- 2 *Nummulites* sp., Eocaen
- 3 *Nephrolepidina* sp. in Geröll
- 4 *Eulepidina dilatata* (Mich.), Aquitanien
- 5 *Alveolina*, Eocaen
- 6 *Lithothamnium*

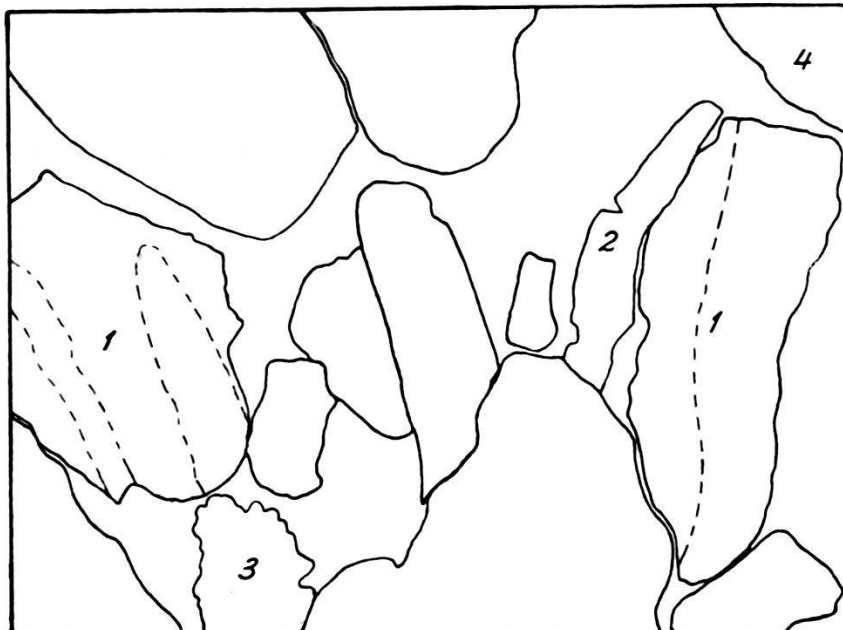


Fig. 2. Feinkonglomeratischer Kalk mit

- 1 *Eulepidina* sp. in Geröll
- 2 *Eulepidina* sp. in der Grundmasse
- 3 *Rotalia tuberculata* SCHUBERT
- 4 *Orbitoides* sp., Kreide

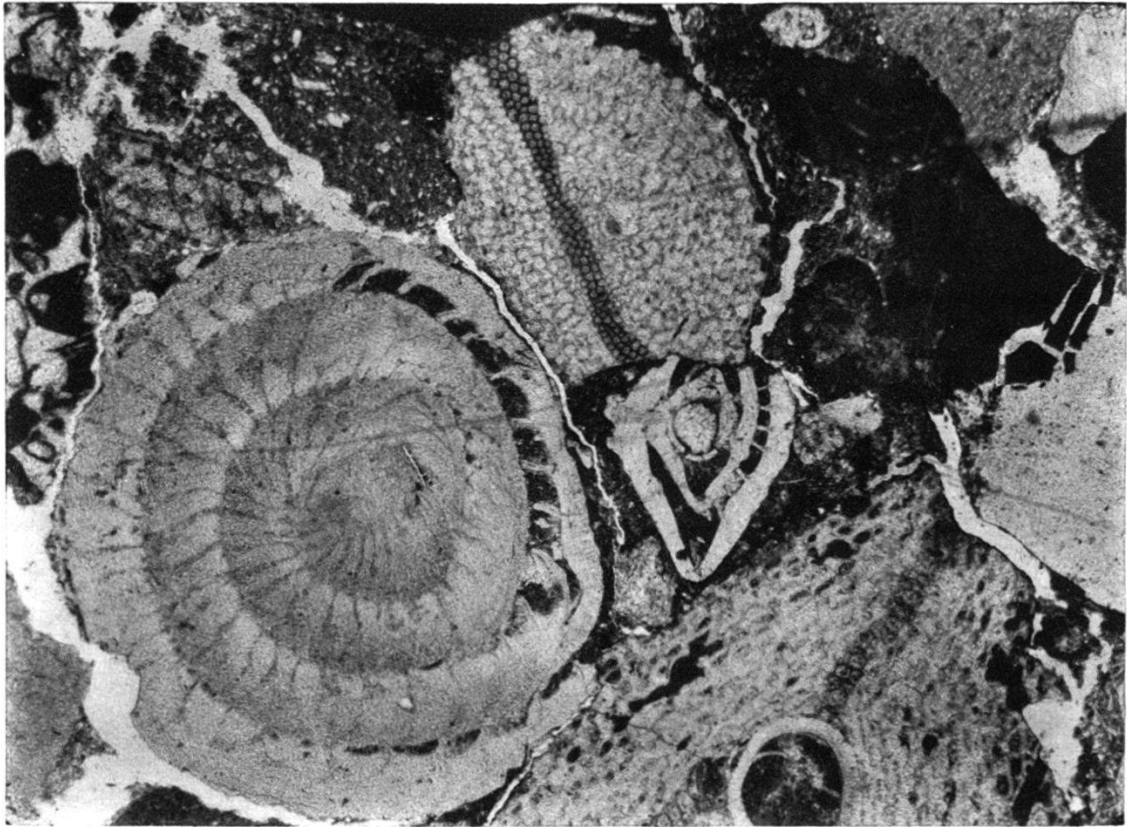


Fig. 1. Vergr. 15 ×.

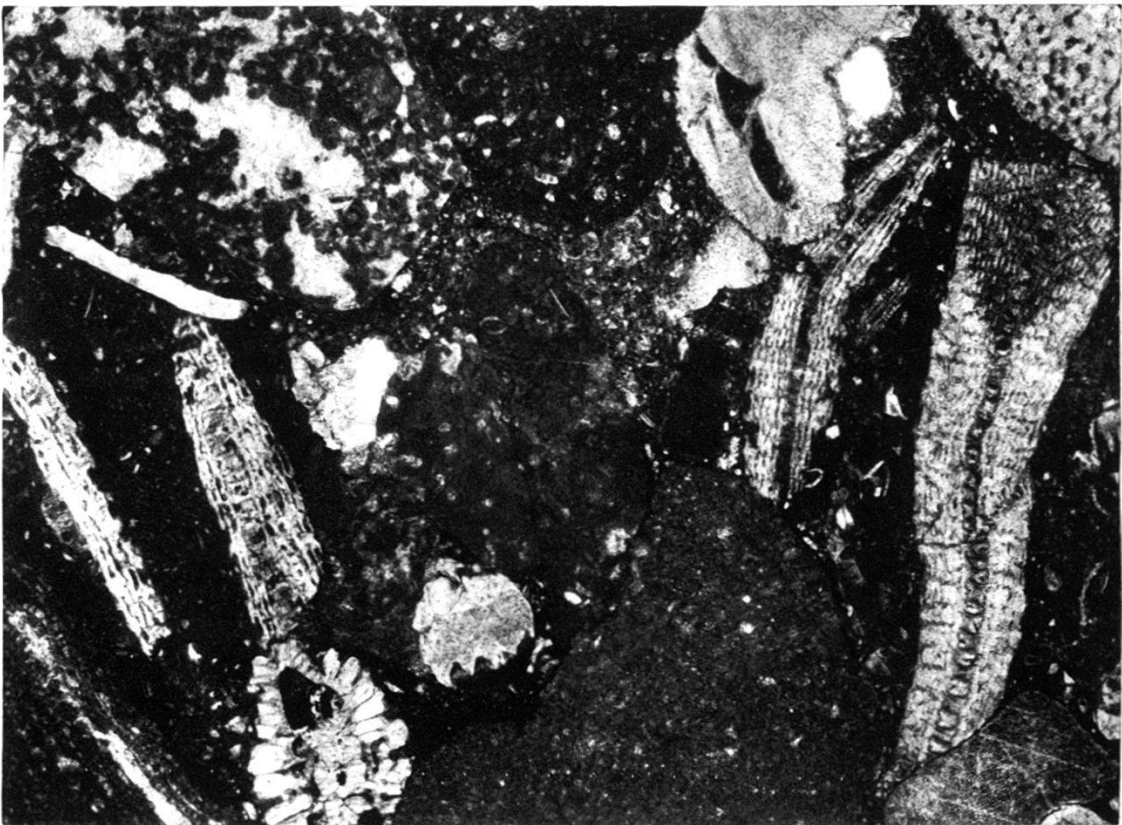


Fig. 2. Vergr. 15 ×.

Erklärung zu Tafel XXIII

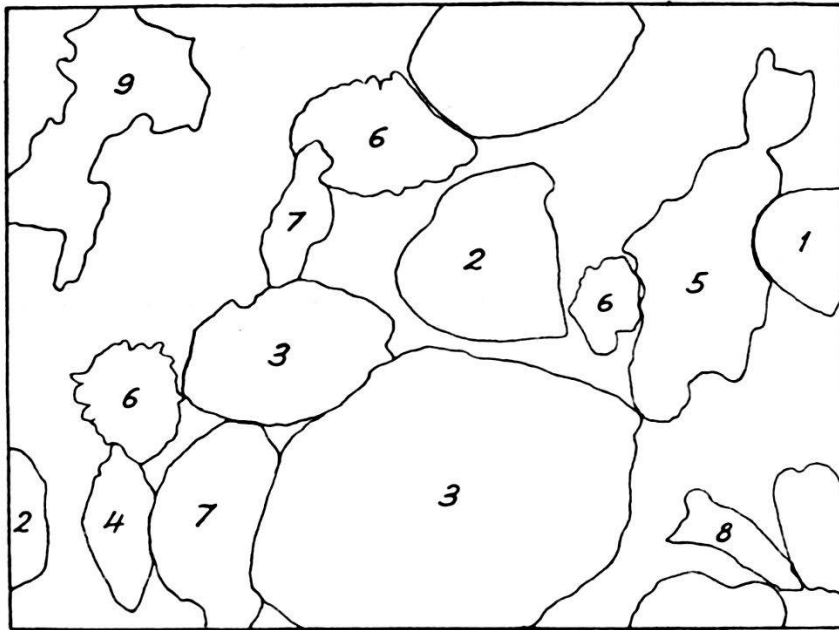


Fig. 1. Feinbrecciöser bis konglomeratischer Kalk mit

- 1 *Lituonella roberti* SCHLUMB., Paleocaen
- 2 *Alveolina* s. s., Eocaen
- 3 *Discoyclina* sp., Eocaen
- 4 *Operculina* sp.
- 5 *Spiroclypeus* sp.
- 6 *Rotalia tuberculata* SCHUBERT, Olig.-Miocaen
- 7 *Nephrolepidina tournoueri* L. & D., Olig.-Miocaen
- 8 *Miogypsina* sp., Burdigalien
- 9 *Lithothamnium*

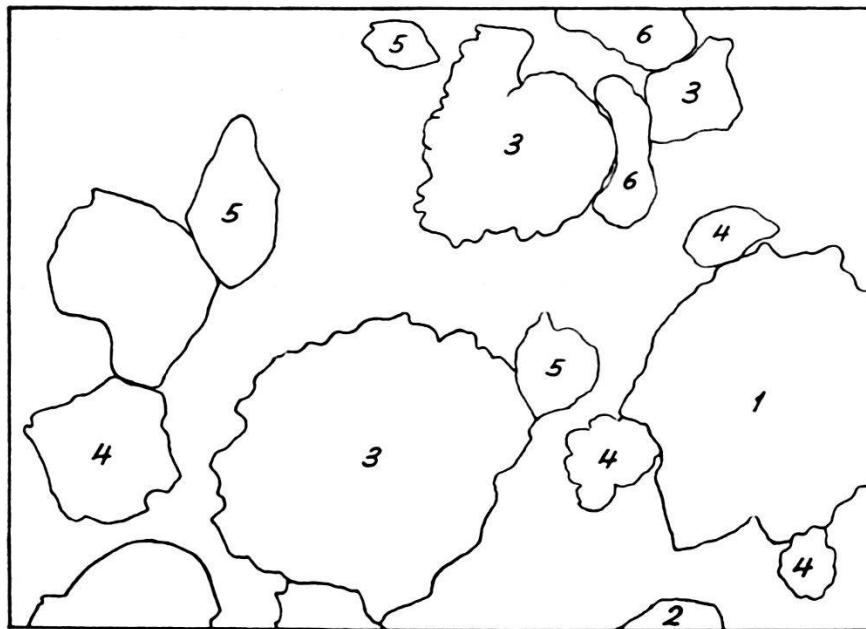


Fig. 2.

- | | |
|---|-----------------|
| <ol style="list-style-type: none"> 1 <i>Eulepidina dilatata</i> (MICH.) 2 <i>Nephrolepidina</i> sp. 3 <i>Rotalia tuberculata</i> SCHUBERT 4 <i>Rotalia</i> sp. 5 <i>Amphistegina</i> sp. 6 <i>Miogypsina complanata</i> SCHLUMB., Burdigalien | } Olig.-Miocaen |
|---|-----------------|



Fig. 1. Vergr. 13 \times .

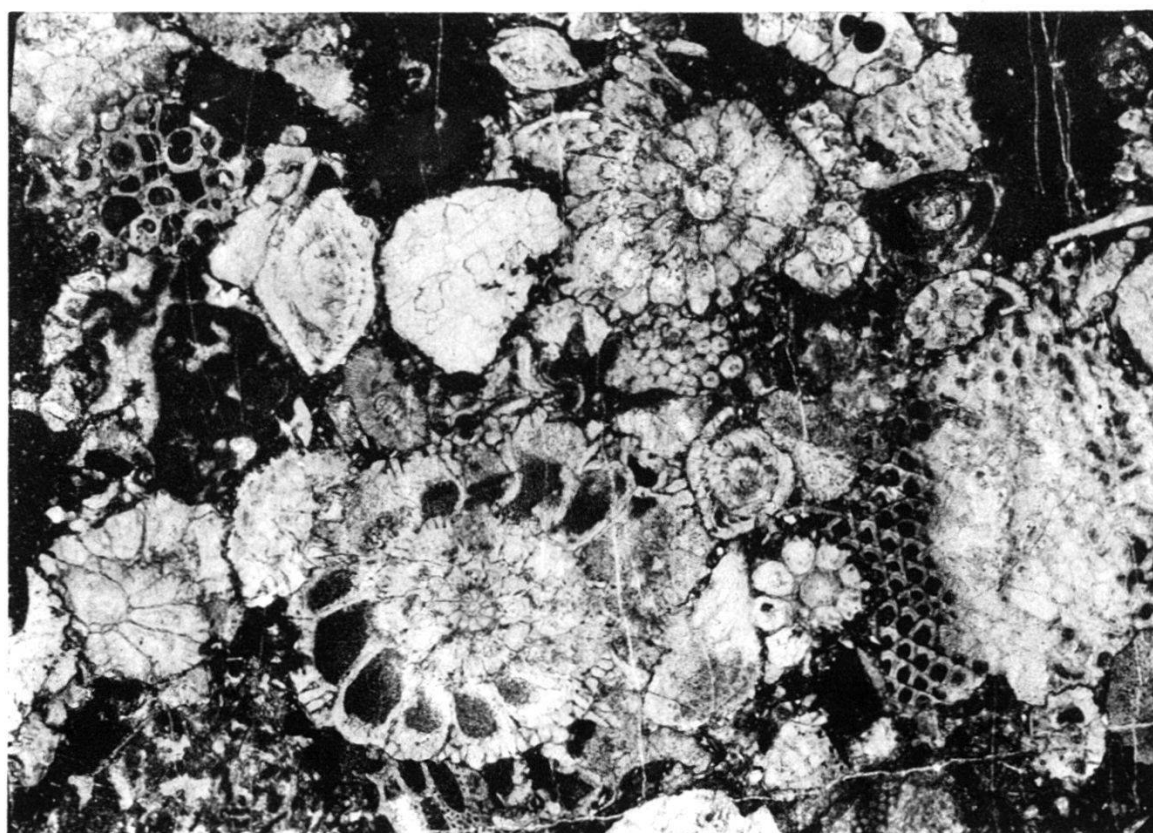


Fig. 2. Vergr. 13 \times .

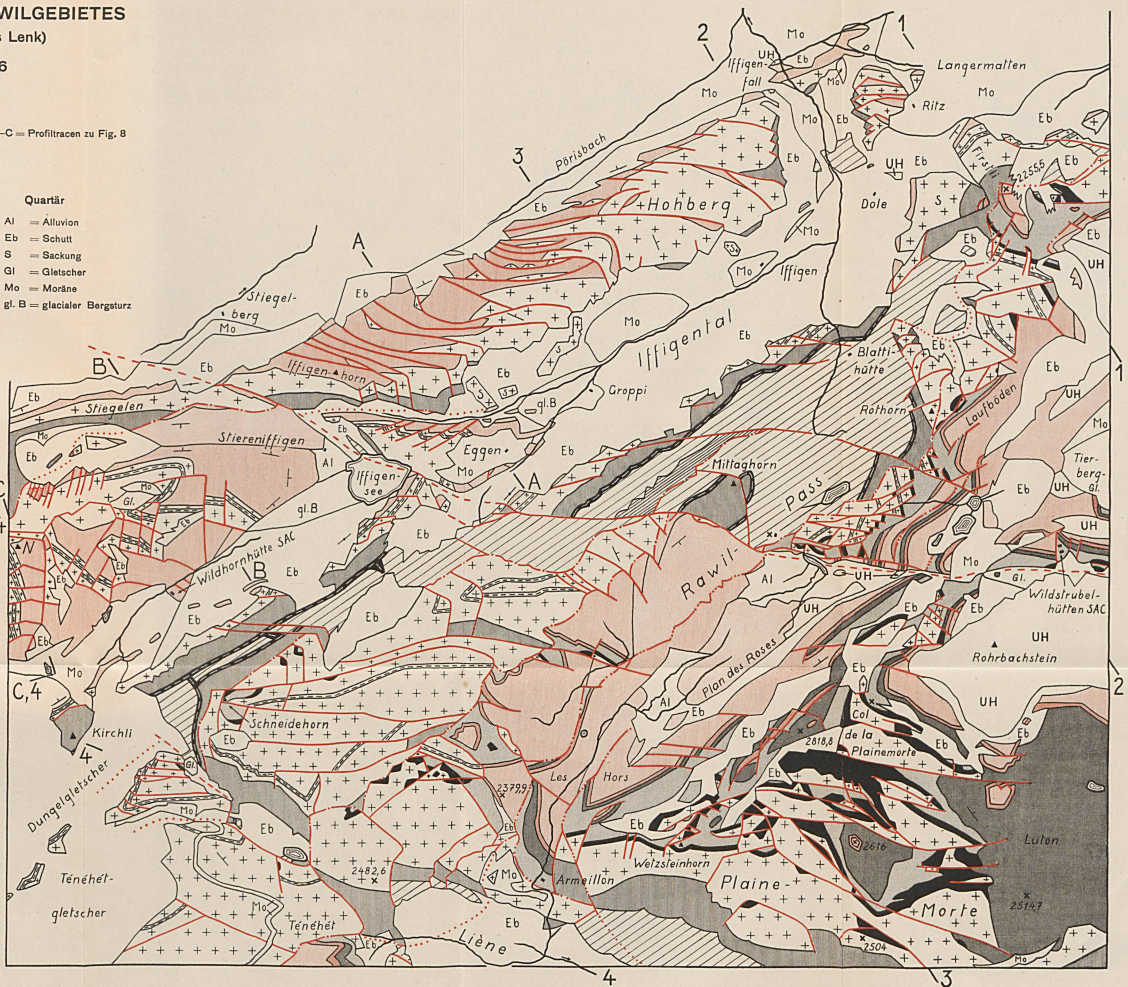
TEKTONISCHE KARTE DES RAWILGEBIETES (SE-Ecke des Siegfriedblattes Lenk)

Von H. P. SCHAUB, 1936

Masstab 1:25.000

N = Niesenhorn 1-4 = Profiltracen zu Tafel XXV A-C = Profiltracen zu Fig. 8

- | | | | |
|---------------------------|---|----------------|-----------------------------|
| Ultrahelvetikum | | Quartär | |
| UH = Trias bis Eocen | | Al = Alluvion | gl. B = glacialer Bergsturz |
| Wildhorn-Decke | | Eb = Schutt | |
| | | S = Sackung | |
| | | Gl = Gletscher | |
| | | Mo = Moräne | |
| | | | |
| Bartonien | Globigerinenschiefer
Lithothamnienkalke | | |
| | Hohgangeschichten | | |
| Lutétien | Complanatenschichten | | |
| Maestrichtien | Wangschichten | | |
| Turonien | Seewerschichten | | |
| Cénomaniens-Albien | Fossilschicht,
Kalksandstein etc. | | |
| Aptien | Oberer Schrottenkalk
Orbitolinenschichten
Unterer Schrottenkalk | | |
| Barrémien | Drusebergsschichten
Allmannschichten | | |
| Hauteriviens | Kieselkalk | | |
| Valanginien | Valanginienmergel | | |
| | — beobachtet | | |
| | - - - - - vermutet | | |
| | — beobachtet | | |
| | - - - - - vermutet | | |
| | — beobachtet | | |
| | - - - - - vermutet | | |



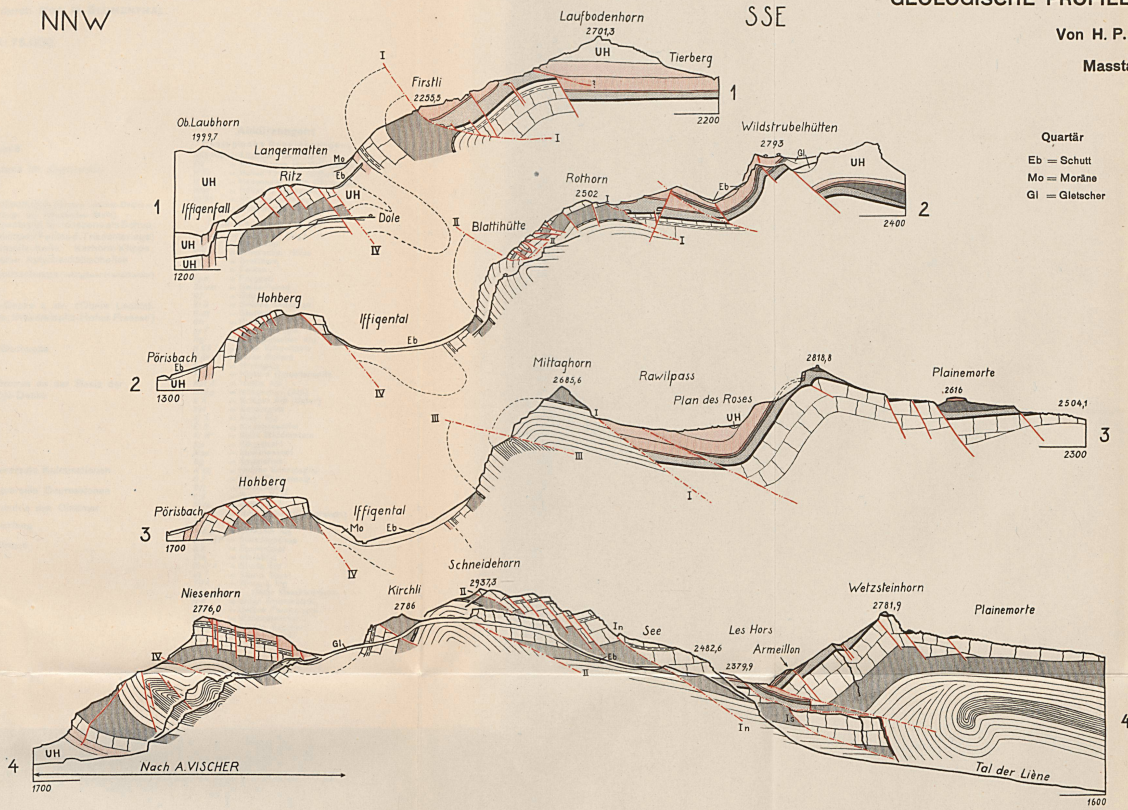
NNW

SSE

GEOLOGISCHE PROFILE DURCH DAS RAWILGEBIET

Von H. P. SCHAUB, 1936

Masstab 1:25.000

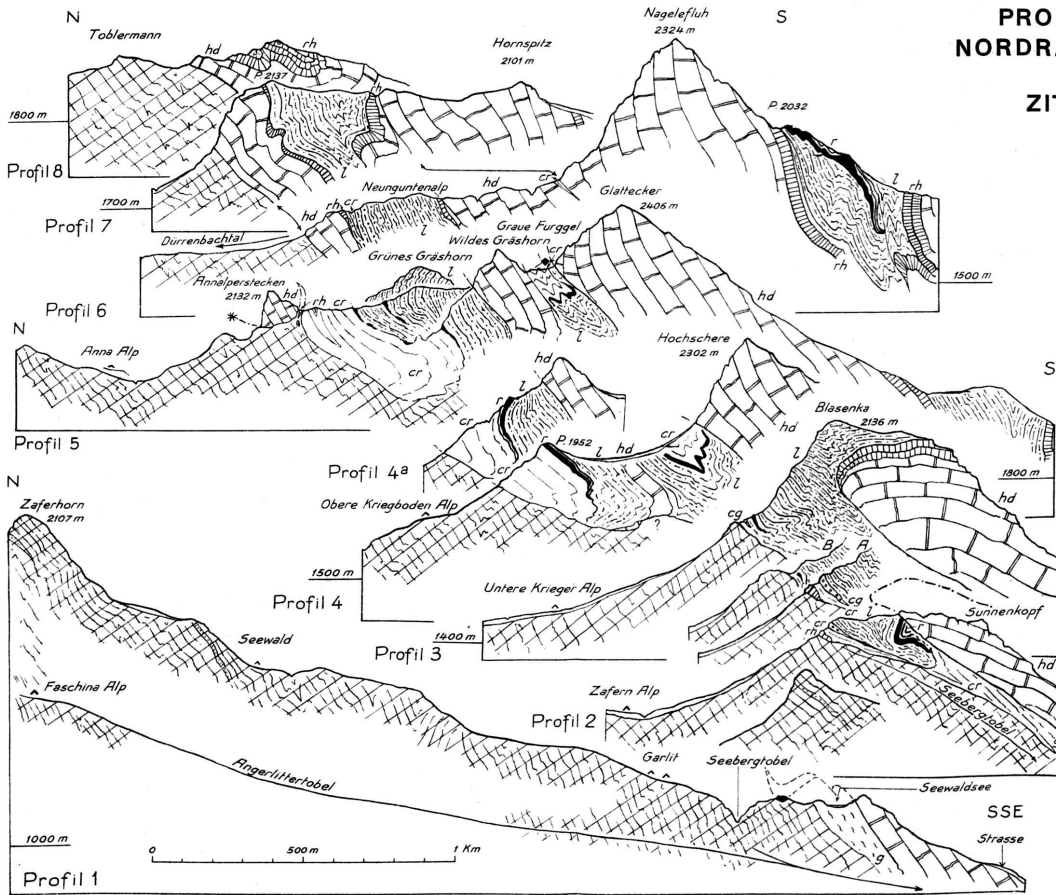


Quartär		Ultrahelvetikum																																				
Eb = Schutt		UH = Trias bis Tertiar																																				
Mo = Moräne		Wildhorn-Decke																																				
Gl = Gletscher																																						
		<table border="0"> <tr> <td rowspan="2">Bartonien</td> <td></td> <td>Globigerinschiefer</td> </tr> <tr> <td></td> <td>Hohgantschichten</td> </tr> <tr> <td>Lutétien</td> <td></td> <td>Complanatenschichten</td> </tr> <tr> <td>Maestrichtien</td> <td></td> <td>Wangschichten</td> </tr> <tr> <td>Turonien</td> <td></td> <td>Seewerschichten</td> </tr> <tr> <td>Cénomaniens-Albien</td> <td></td> <td>Fossilschicht, Kalksandstein etc.</td> </tr> <tr> <td rowspan="2">Aptien</td> <td></td> <td>Oberer Schraffenkalk</td> </tr> <tr> <td></td> <td>Orbitolinaschichten</td> </tr> <tr> <td rowspan="2">Barrémien</td> <td></td> <td>Unterer Schraffenkalk</td> </tr> <tr> <td></td> <td>Drusebergsschichten</td> </tr> <tr> <td>Hauterivien</td> <td></td> <td>Altmansschichten</td> </tr> <tr> <td rowspan="2">Valanginien</td> <td></td> <td>Kieselkalk</td> </tr> <tr> <td></td> <td>Valanginienmergel</td> </tr> </table>		Bartonien		Globigerinschiefer		Hohgantschichten	Lutétien		Complanatenschichten	Maestrichtien		Wangschichten	Turonien		Seewerschichten	Cénomaniens-Albien		Fossilschicht, Kalksandstein etc.	Aptien		Oberer Schraffenkalk		Orbitolinaschichten	Barrémien		Unterer Schraffenkalk		Drusebergsschichten	Hauterivien		Altmansschichten	Valanginien		Kieselkalk		Valanginienmergel
Bartonien		Globigerinschiefer																																				
		Hohgantschichten																																				
Lutétien		Complanatenschichten																																				
Maestrichtien		Wangschichten																																				
Turonien		Seewerschichten																																				
Cénomaniens-Albien		Fossilschicht, Kalksandstein etc.																																				
Aptien		Oberer Schraffenkalk																																				
		Orbitolinaschichten																																				
Barrémien		Unterer Schraffenkalk																																				
		Drusebergsschichten																																				
Hauterivien		Altmansschichten																																				
Valanginien		Kieselkalk																																				
		Valanginienmergel																																				
		<table border="0"> <tr> <td></td> <td>Bruch</td> </tr> <tr> <td></td> <td>Untervorschiebung</td> </tr> <tr> <td></td> <td>Oberschiebung</td> </tr> </table>			Bruch		Untervorschiebung		Oberschiebung																													
	Bruch																																					
	Untervorschiebung																																					
	Oberschiebung																																					

WASSERMANN & CO. BASEL.

**PROFILSERIE DURCH DEN
NORDRAND DER ALLGÄU-DECKE
IN DER
ZITTERKLAPPEN-KETTE**

VON
MOR. M. BLUMENTHAL.



Legende

- Ultrahelvetic Flysch (Oberstdorfer Decke)
- cr Oberkreide (Couches rouges & Wildflysch)
- cg Polygenes Konglomerat
- g Mergelzone von Seewaldsee (Gosauergel ?)
- Aplychenkalk (Tithon in Flexenpassfazies)
- r Radiolarit
- l Allgäuschichten (varw Lies)
- rh Rhät
- hd Hauptdolomit

Prof. 9, 10, 11 in Textfigur 3
Prof. 12 in Textfigur 1



Querschnitt eines Maestrichtienblockes aus dem Agglomerat vom Franzosenweg bei Alfermée.

0,5 ×.

O = Orbitoiden
Swk = Süßwasserkalk
G = Gastropode

C = Bruchstücke von Cénomanienkalk in der Süßwasserkalkkruste
A ↔ A = frische Bruchränder

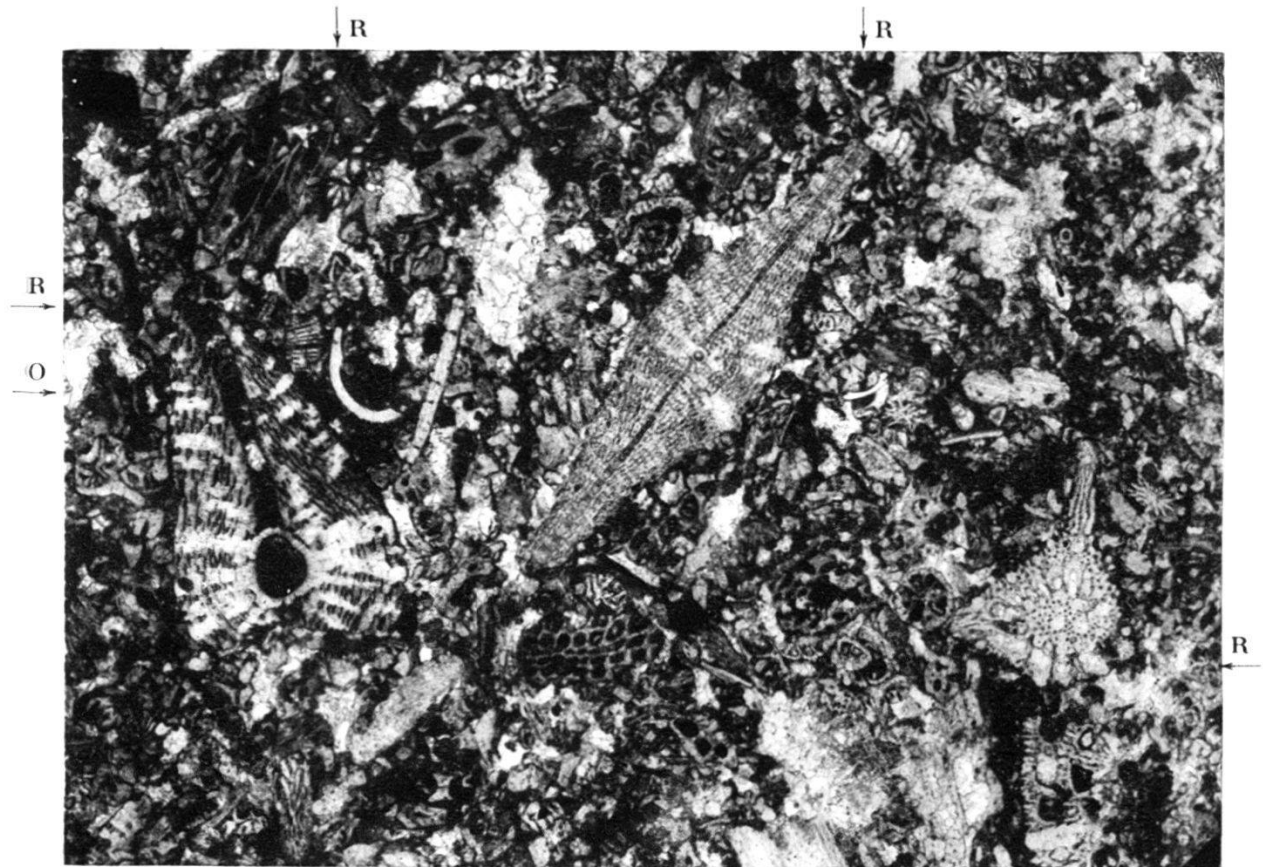


Fig. 1. *Orbitoides* cf. *media* (D'ARCH.) (links), *Lepidorbitoides socialis* (LEYM.) (Mitte), *Siderolites calcitrapoides* LAM. (rechts), *Rotalia* ? sp. (R), Ostracoden (O), Bryozoen. 15 ×.

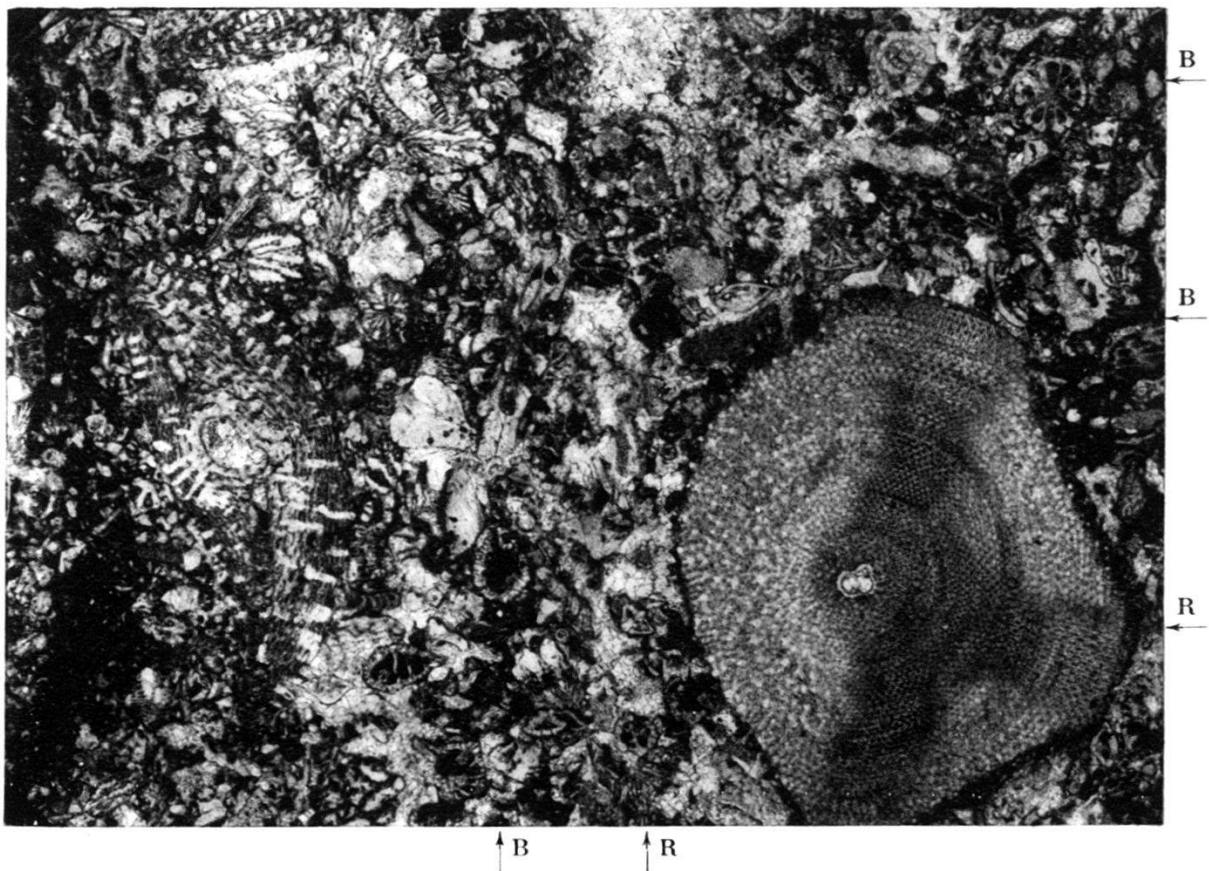


Fig. 2. *Orbitoides* sp. (links), *Siderolites calcitrapoides* LAM. (links oben), *Lepidorbitoides socialis* (LEYM.) (rechts), *Rotalia* ? sp. (R), Bryozoen (B). 12 ×.

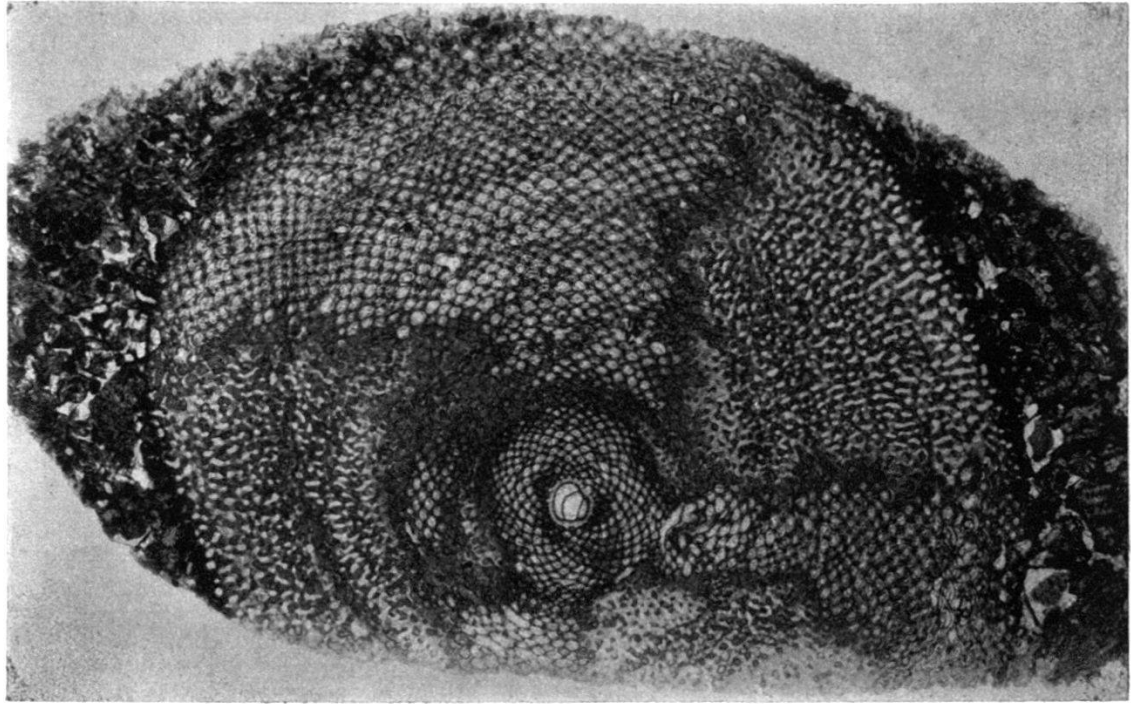
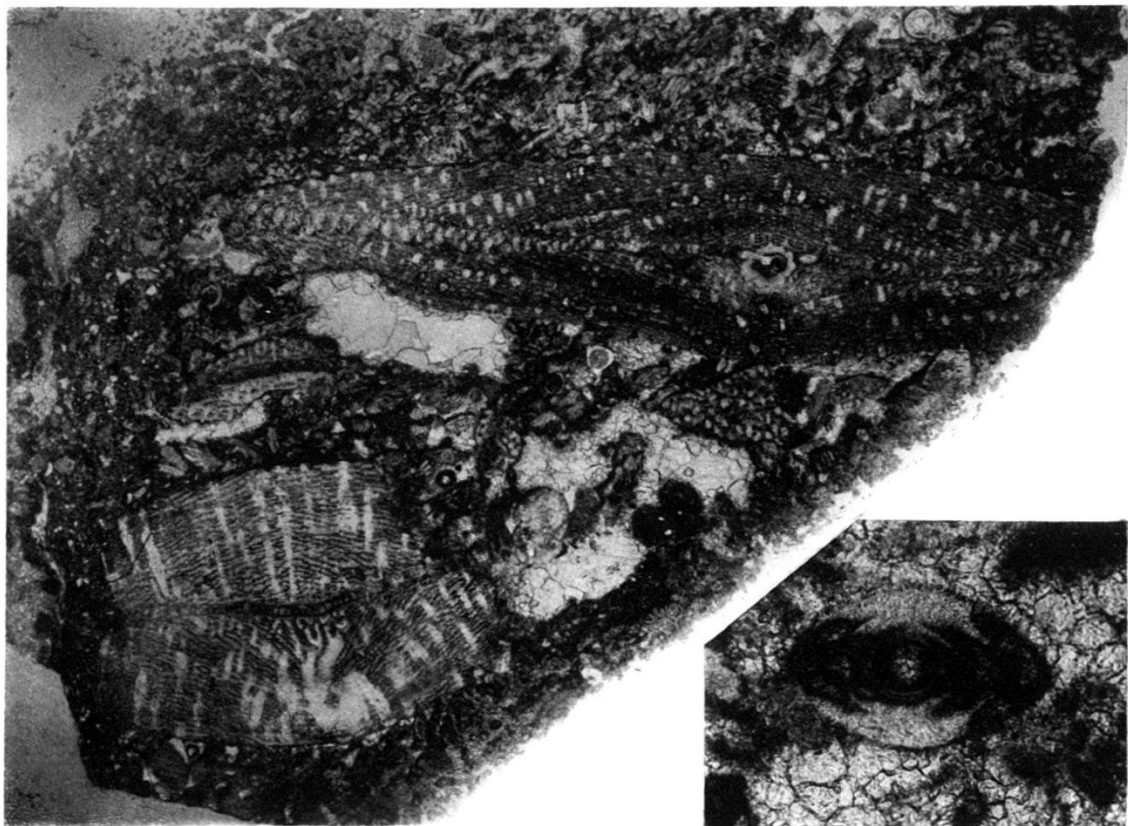


Fig. 1. *Orbitoides apiculata* SCHLUMB. (horizontal). 8 ×.



2

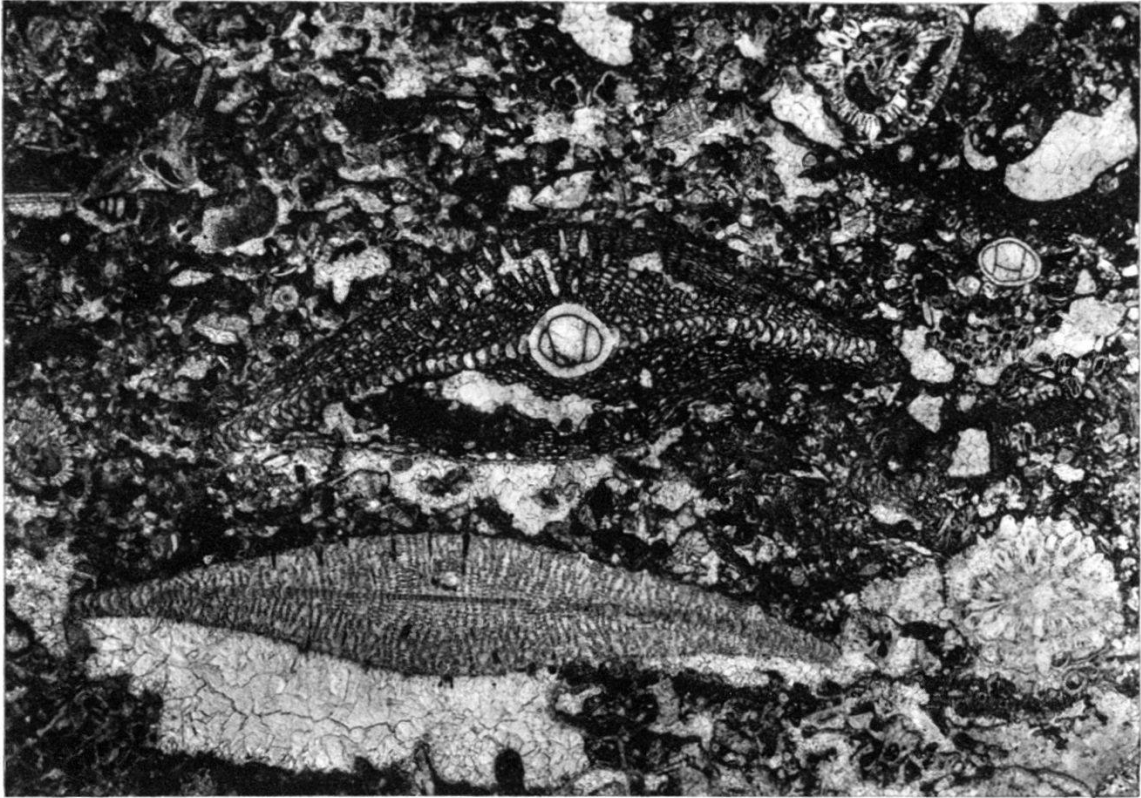
3

Fig. 2. *Orbitoides apiculata* SCHLUMB. (vertikal). Oben A-, unten B-Form (Fragment). 8 ×.

Fig. 3. ? *Meandropsina* n. sp. 60 ×.

O. RENZ phot.

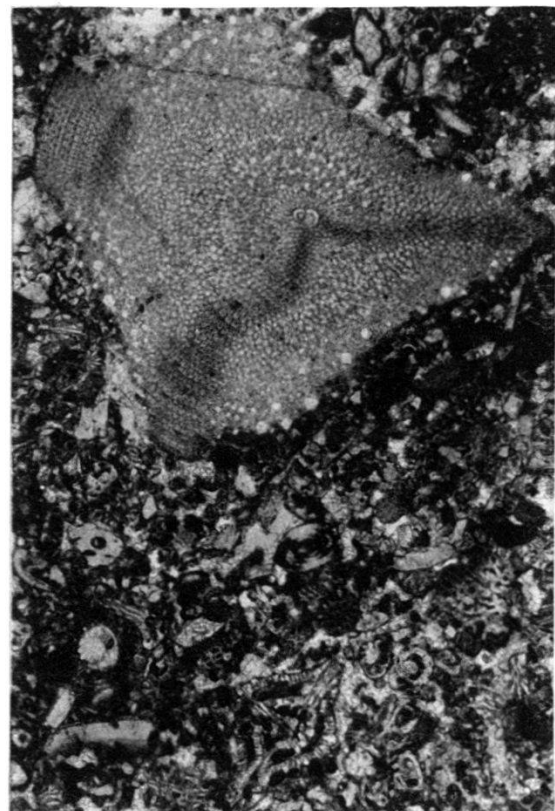
Reprod. BIRKHÄUSER, Basel.



1



2

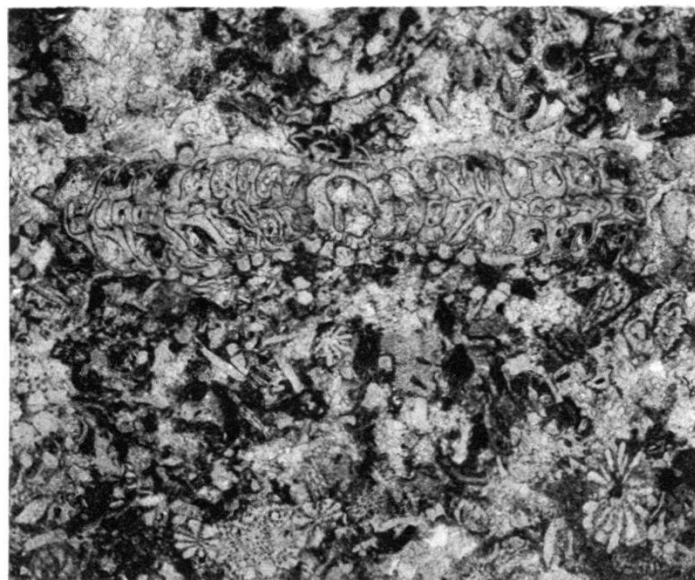


3

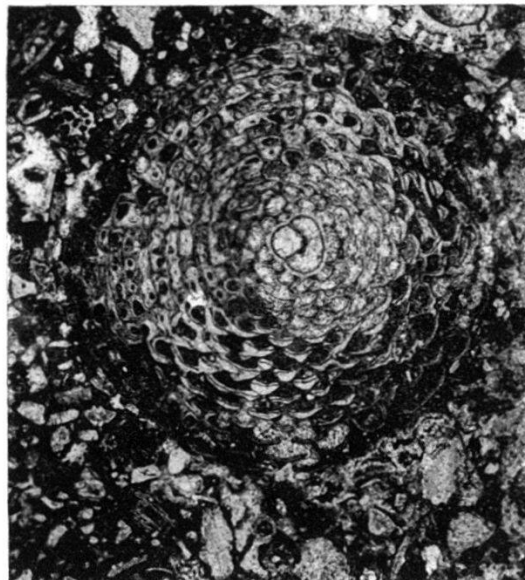
Fig. 1. *Orbitoides media* (D'ARCH.) (Mitte), Embryonalapparat von *O. media* (oben rechts), *Lepidorbitoides socialis* (LEYM.) (unten), *Siderolites calcitrapoides* LAM. (oben und unten rechts). 12 ×.

Fig. 2. *Simplorbites gensacicus* (LEYM.). 15 ×.

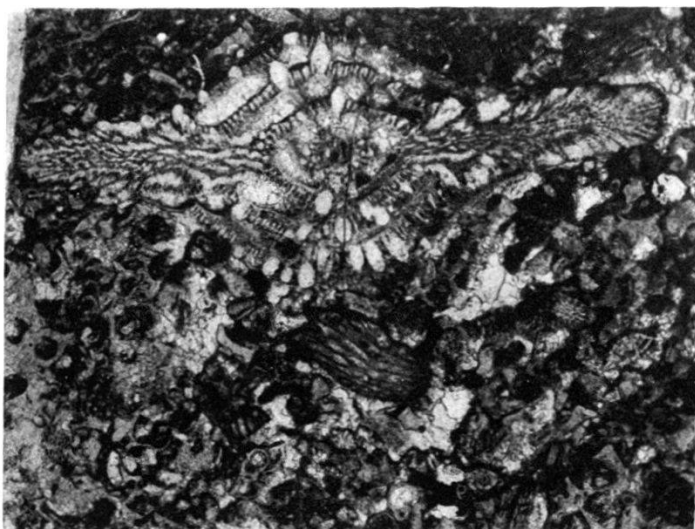
Fig. 3. *Lepidorbitoides socialis* (LEYM.) (oben), ? *Meandropsina* n. sp. (Mitte), *Siderolites* (unten). 10 ×.



1



2



3



4



5



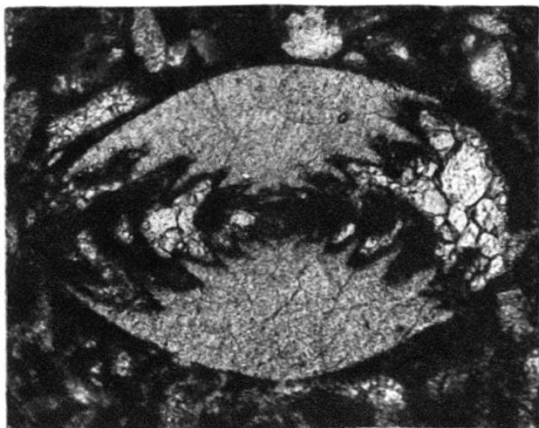
6

Fig. 1. *Omphalocyclus macropora* LAM. (vertikal). 15 ×.

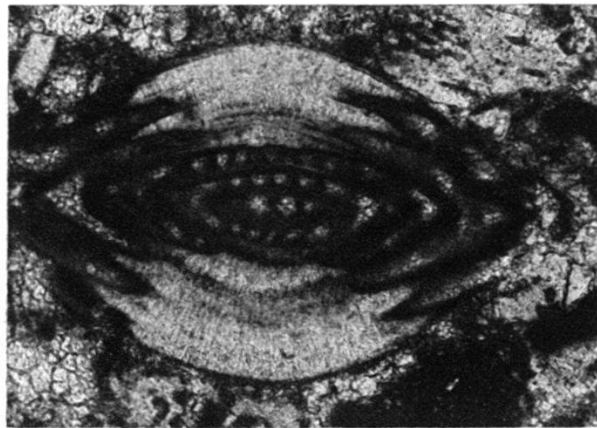
Fig. 2. *Omphalocyclus macropora* LAM. (horizontal), *Rotalia?* sp. (unten links). 15 ×.

Fig. 3 & 4. *Siderolites calcitrapoides* LAM. 15 ×.

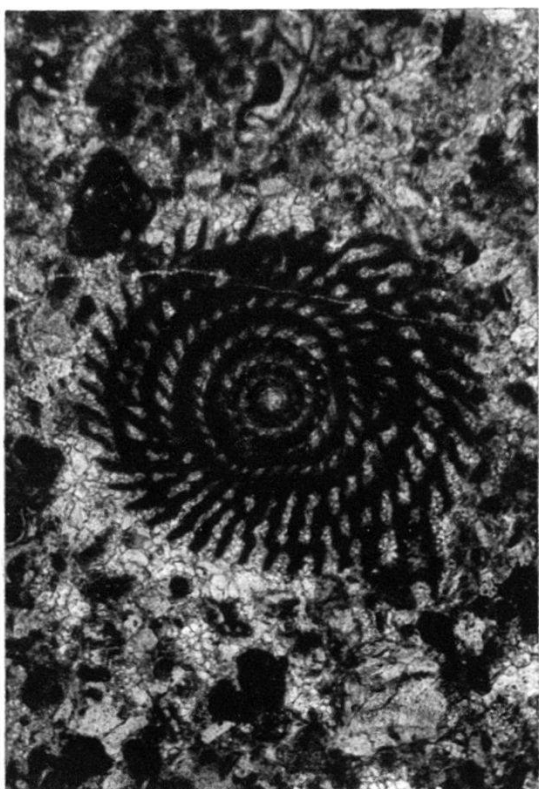
Fig. 5 & 6. *Orbitoides media* (D'ARCH.). 15 ×.



1



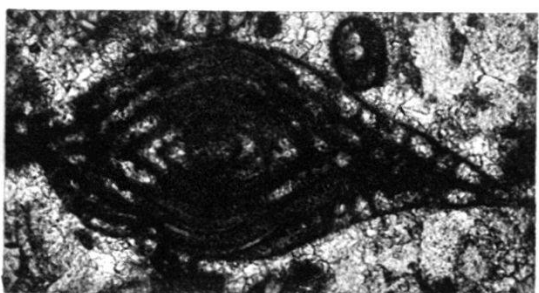
2



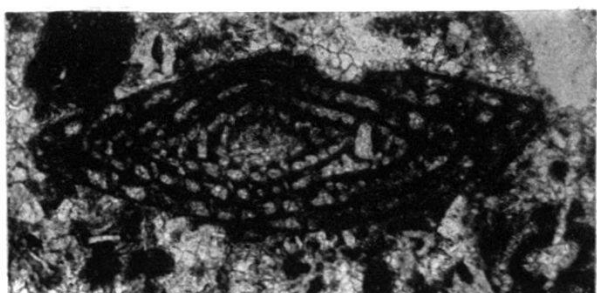
3



4



5



6

Fig. 1 & 2. ? *Meandropsina* n. sp. aff. *Nonionina cretacea* SCHLUMB. 60 ×.

Fig. 3, 5, 6. *Meandropsina vidali* SCHLUMB. 35 ×.

Fig. 4. *Siderolites calcitrapoides* LAM., *Meandropsina vidali* SCHLUMB. 35 ×.

O. RENZ phot.

Reprod. BIRKHÄUSER, Basel.

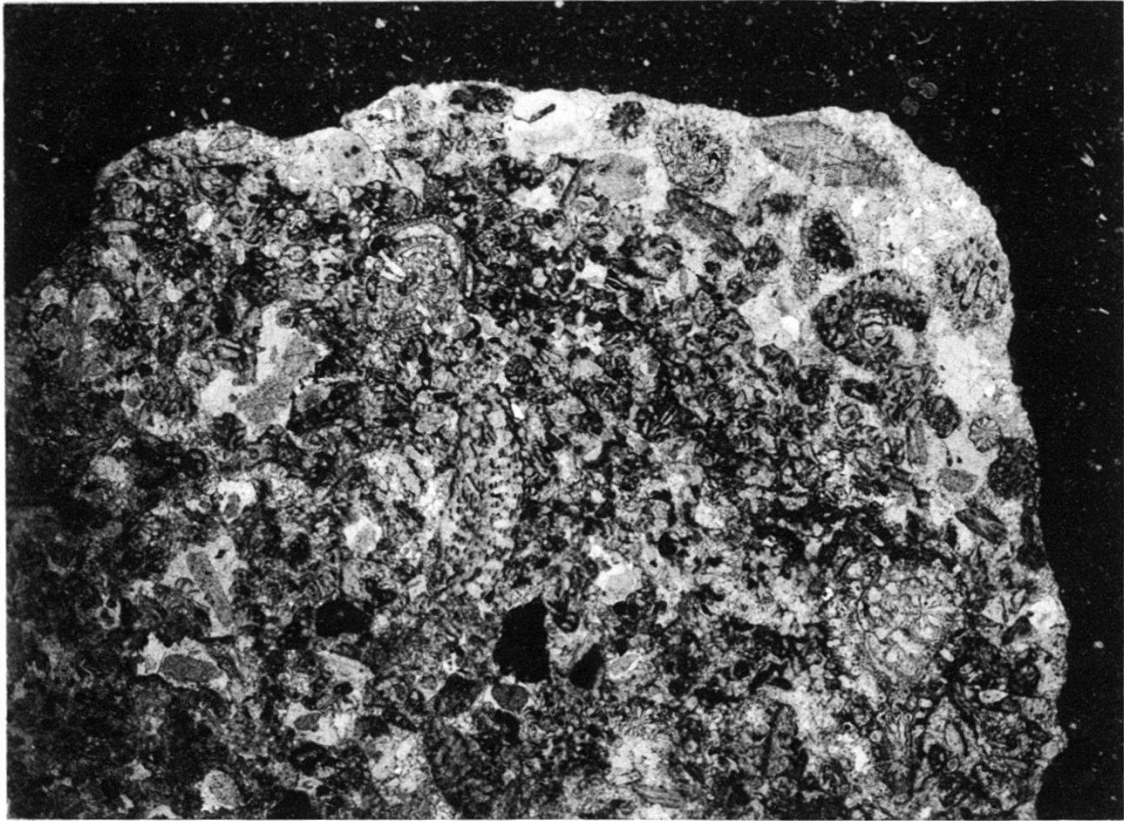
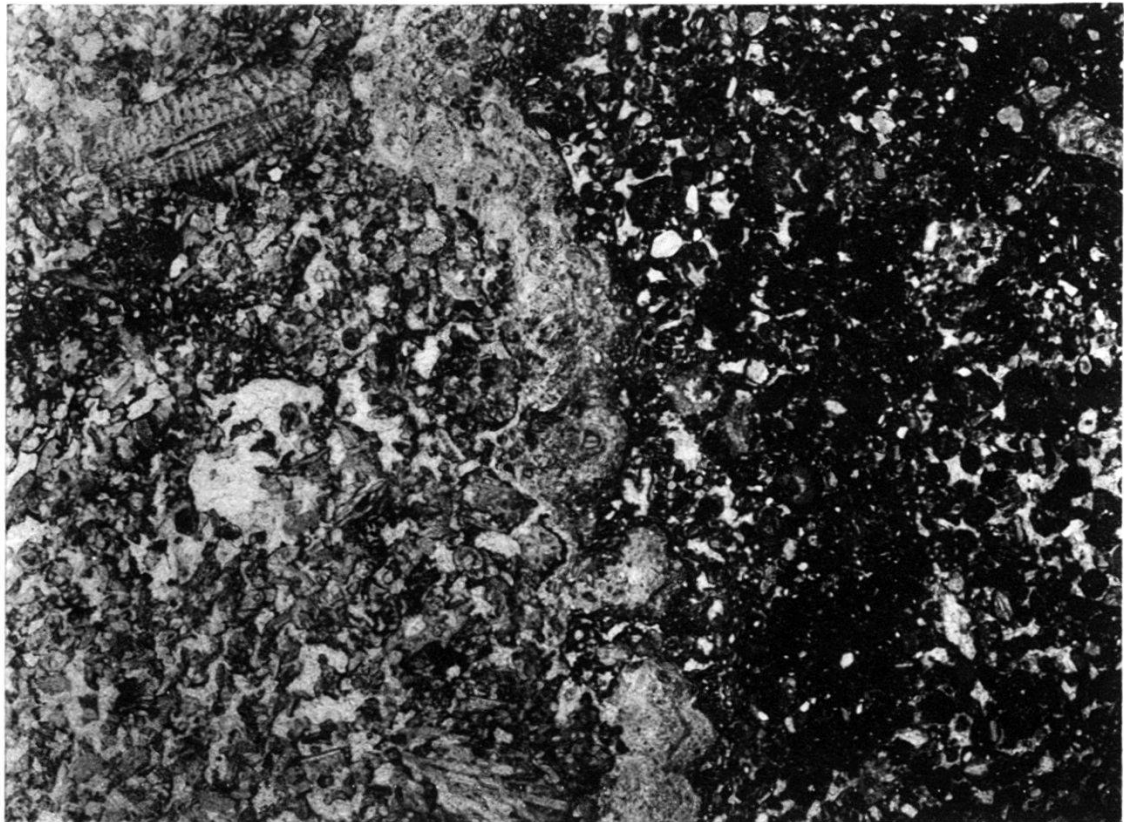


Fig. 1. Querschnitt durch die Ausfüllung eines Pholadenloches im Cenomankalk. 8 x.

↓ VK



↑ VK

Fig. 2. Grenze zwischen Maestrichtien (links) und Süßwasserkalk (rechts).
Versinterungskruste (VK). 8 x.



W. JECKER (Basel) phot.

Reprod. BIRKHÄUSER, Basel.

Sandsteinplatte aus dem Vindobonien des Rebhubel bei Biel (Kt. Bern),
mit eingeregeltten Mollusken (*Potamides baumbergeri* DOLLFUS).

Reduktion ca. $\frac{1}{2}$.



A. JEANNET phot.

Reprod. BIRKHÄUSER, Basel.

Diplocidarid mauritanicus nov. sp. Gr. 0,97.

Fig. 1. Vu en dessus. — Fig. 2. Vu de profil. — Fig. 3. Vu en dessous.